

Informacja o zmianie parametrów instalacji

1. Nazwa i adres organu ochrony środowiska właściwego do przyjęcia informacji

**Starostwo Powiatowe w Kartuzach,
ul. Dworcowa 1, 83-300 Kartuzy**

2. Nazwa instalacji zgodna z nazewnictwem stosowanym przez prowadzącego instalację

RTCN Gdańsk / Chwaszczyno

3. Oznaczenie prowadzącego instalację, jego adres zamieszkania lub siedziby

**Emitel S.A.
ul. F.Klimczaka 1, 02-797 Warszawa**

4. Adres zakładu, na którego terenie prowadzona jest eksploatacja instalacji

ul. Telewizyjna 9, 84-209 Chwaszczyno

5. Rodzaj i zakres prowadzonej działalności, w tym wielkość produkcji lub wielkość świadczonych usług

Świadczenie usług w zakresie telekomunikacji oraz emisji programów telewizyjnych i radiowych na terenie całego kraju. Wielkość produkcji opisana jest parametrem EIRP (moc izotropowa) w pkt. 7

6. Czas funkcjonowania instalacji (dni tygodnia i godziny)

Wszystkie dni tygodnia przez całą dobę

7. Wielkość i rodzaj emisji

wyszczególnione w punkcie 12

Tabela 1. Parametry techniczne układu antenowego 1x2 EAR 203 T (R. KASZEBE)

| L.p. | Pojedyncza antena | Użytkownik | Pasma | Główne kierunki promieniowania | Wysokość zawieszenia | Pochylenie wiązki głównej | EIRP pojedynczej anteny |
|------|-------------------|------------|--------|--------------------------------|----------------------|---------------------------|-------------------------|
| | | | MHz | deg | mnpt | deg | W |
| 1. | EAR 203 T | Emitel | 88-108 | 185 | 210 | 0 | 1640 |
| 2. | EAR 203 T | Emitel | | 285 | 210 | 0 | 1640 |

Tabela 2. Parametry techniczne układu antenowego 12x5 K 523057 (MUX R3, MUX8)

| L.p. | Pojedyncza antena | Użytkownik | Pasma | Główne kierunki promieniowania | Wysokość zawieszenia | Pochylenie wiązki głównej | EIRP pojedynczej anteny |
|------|-------------------|------------|---------|--------------------------------|----------------------|---------------------------|-------------------------|
| | | | MHz | deg | mnpt | deg | W |
| 1 | K 523057 | Emitel | 176-862 | 20 | 278,25 | 0 | 1203 |
| 2 | K 523057 | Emitel | | | 276,75 | 0 | 1203 |
| 3 | K 523057 | Emitel | | | 275,25 | 0 | 1203 |
| 4 | K 523057 | Emitel | | | 273,75 | 0 | 1203 |
| 5 | K 523057 | Emitel | | | 272,25 | 0 | 1203 |
| 6 | K 523057 | Emitel | | | 270,75 | 0 | 1203 |
| 7 | K 523057 | Emitel | | | 269,25 | 0 | 1203 |
| 8 | K 523057 | Emitel | | | 267,75 | 0 | 1203 |
| 9 | K 523057 | Emitel | | | 266,25 | 0 | 1203 |
| 10 | K 523057 | Emitel | | | 264,75 | 0 | 1203 |
| 11 | K 523057 | Emitel | | | 263,25 | 0 | 1203 |
| 12 | K 523057 | Emitel | | | 261,75 | 0 | 1203 |
| 13 | K 523057 | Emitel | 176-862 | 93 | 278,25 | 0 | 1203 |
| 14 | K 523057 | Emitel | | | 276,75 | 0 | 1203 |
| 15 | K 523057 | Emitel | | | 275,25 | 0 | 1203 |
| 16 | K 523057 | Emitel | | | 273,75 | 0 | 1203 |
| 17 | K 523057 | Emitel | | | 272,25 | 0 | 1203 |
| 18 | K 523057 | Emitel | | | 270,75 | 0 | 1203 |
| 19 | K 523057 | Emitel | | | 269,25 | 0 | 1203 |
| 20 | K 523057 | Emitel | | | 267,75 | 0 | 1203 |
| 21 | K 523057 | Emitel | | | 266,25 | 0 | 1203 |
| 22 | K 523057 | Emitel | | | 264,75 | 0 | 1203 |
| 23 | K 523057 | Emitel | | | 263,25 | 0 | 1203 |
| 24 | K 523057 | Emitel | | | 261,75 | 0 | 1203 |
| 25 | K 523057 | Emitel | 176-862 | 165 | 278,25 | 0 | 1203 |
| 26 | K 523057 | Emitel | | | 276,75 | 0 | 1203 |
| 27 | K 523057 | Emitel | | | 275,25 | 0 | 1203 |
| 28 | K 523057 | Emitel | | | 273,75 | 0 | 1203 |
| 29 | K 523057 | Emitel | | | 272,25 | 0 | 1203 |
| 30 | K 523057 | Emitel | | | 270,75 | 0 | 1203 |
| 31 | K 523057 | Emitel | | | 269,25 | 0 | 1203 |
| 32 | K 523057 | Emitel | | | 267,75 | 0 | 1203 |
| 33 | K 523057 | Emitel | | | 266,25 | 0 | 1203 |
| 34 | K 523057 | Emitel | | | 264,75 | 0 | 1203 |

| | | | | | | | |
|----|----------|--------|---------|-----|--------|---|------|
| 35 | K 523057 | Emitel | | | 263,25 | 0 | 1203 |
| 36 | K 523057 | Emitel | | | 261,75 | 0 | 1203 |
| 37 | K 523057 | Emitel | 176-862 | 234 | 278,25 | 0 | 1203 |
| 38 | K 523057 | Emitel | | | 276,75 | 0 | 1203 |
| 39 | K 523057 | Emitel | | | 275,25 | 0 | 1203 |
| 40 | K 523057 | Emitel | | | 273,75 | 0 | 1203 |
| 41 | K 523057 | Emitel | | | 272,25 | 0 | 1203 |
| 42 | K 523057 | Emitel | | | 270,75 | 0 | 1203 |
| 43 | K 523057 | Emitel | | | 269,25 | 0 | 1203 |
| 44 | K 523057 | Emitel | | | 267,75 | 0 | 1203 |
| 45 | K 523057 | Emitel | | | 266,25 | 0 | 1203 |
| 46 | K 523057 | Emitel | | | 264,75 | 0 | 1203 |
| 47 | K 523057 | Emitel | 263,25 | 0 | 1203 | | |
| 48 | K 523057 | Emitel | 261,75 | 0 | 1203 | | |
| 49 | K 523057 | Emitel | 176-862 | 308 | 278,25 | 0 | 1203 |
| 50 | K 523057 | Emitel | | | 276,75 | 0 | 1203 |
| 51 | K 523057 | Emitel | | | 275,25 | 0 | 1203 |
| 52 | K 523057 | Emitel | | | 273,75 | 0 | 1203 |
| 53 | K 523057 | Emitel | | | 272,25 | 0 | 1203 |
| 54 | K 523057 | Emitel | | | 270,75 | 0 | 1203 |
| 55 | K 523057 | Emitel | | | 269,25 | 0 | 1203 |
| 56 | K 523057 | Emitel | | | 267,75 | 0 | 1203 |
| 57 | K 523057 | Emitel | | | 266,25 | 0 | 1203 |
| 58 | K 523057 | Emitel | | | 264,75 | 0 | 1203 |
| 59 | K 523057 | Emitel | | | 263,25 | 0 | 1203 |
| 60 | K 523057 | Emitel | | | 261,75 | 0 | 1203 |

Tabela 3. Parametry techniczne układu antenowego (16x1)+(14x2)+(4x1) ADT8621 (DVB-T2 MUX 1,2,3,4, MUX TVP test)

| L.p. | Pojedyncza antena | Użytkownik | Pasma | Główne kierunki promieniowania | Wysokość zawieszania | Pochylenie wiązki głównej | EIRP pojedynczej anteny |
|------|-------------------|------------|---------|--------------------------------|----------------------|---------------------------|-------------------------|
| | | | MHz | deg | mnpt | deg | W |
| 1 | ADT8621 | Emitel | 482-658 | 55 | 316,5 | 0 | 17083 |
| 2 | ADT8621 | Emitel | | | 315,1 | 0 | 17083 |
| 3 | ADT8621 | Emitel | | | 313,7 | 0 | 17083 |
| 4 | ADT8621 | Emitel | | | 312,3 | 0 | 17083 |
| 5 | ADT8621 | Emitel | | | 310,9 | 0 | 17083 |
| 6 | ADT8621 | Emitel | | | 309,5 | 0 | 17083 |
| 7 | ADT8621 | Emitel | | | 308,1 | 0 | 17083 |
| 8 | ADT8621 | Emitel | | | 306,7 | 0 | 17083 |
| 9 | ADT8621 | Emitel | | | 305,3 | 0 | 17083 |
| 10 | ADT8621 | Emitel | | | 303,9 | 0 | 17083 |
| 11 | ADT8621 | Emitel | | | 302,5 | 0 | 17083 |
| 12 | ADT8621 | Emitel | | | 301,1 | 0 | 17083 |
| 13 | ADT8621 | Emitel | | | 299,7 | 0 | 17083 |
| 14 | ADT8621 | Emitel | | | 298,3 | 0 | 17083 |
| 15 | ADT8621 | Emitel | | | 296,9 | 0 | 17083 |
| 16 | ADT8621 | Emitel | | | 295,5 | 0 | 17083 |
| 17 | ADT8621 | Emitel | | | 482-658 | 145 | 315,1 |
| 18 | ADT8621 | Emitel | 313,7 | 0 | | | 17083 |
| 19 | ADT8621 | Emitel | 312,3 | 0 | | | 17083 |
| 20 | ADT8621 | Emitel | 310,9 | 0 | | | 17083 |
| 21 | ADT8621 | Emitel | 309,5 | 0 | | | 17083 |
| 22 | ADT8621 | Emitel | 308,1 | 0 | | | 17083 |
| 23 | ADT8621 | Emitel | 306,7 | 0 | | | 17083 |
| 24 | ADT8621 | Emitel | 305,3 | 0 | | | 17083 |
| 25 | ADT8621 | Emitel | 303,9 | 0 | | | 17083 |
| 26 | ADT8621 | Emitel | 302,5 | 0 | | | 17083 |
| 27 | ADT8621 | Emitel | 301,1 | 0 | | | 17083 |
| 28 | ADT8621 | Emitel | 299,7 | 0 | | | 17083 |
| 29 | ADT8621 | Emitel | 298,3 | 0 | 17083 | | |
| 30 | ADT8621 | Emitel | 296,9 | 0 | 17083 | | |
| 31 | ADT8621 | Emitel | 482-658 | 235 | 315,1 | 0 | 17083 |
| 32 | ADT8621 | Emitel | | | 313,7 | 0 | 17083 |
| 33 | ADT8621 | Emitel | | | 312,3 | 0 | 17083 |
| 34 | ADT8621 | Emitel | | | 310,9 | 0 | 17083 |
| 35 | ADT8621 | Emitel | | | 309,5 | 0 | 17083 |
| 36 | ADT8621 | Emitel | | | 308,1 | 0 | 17083 |
| 37 | ADT8621 | Emitel | | | 306,7 | 0 | 17083 |
| 38 | ADT8621 | Emitel | | | 305,3 | 0 | 17083 |
| 39 | ADT8621 | Emitel | | | 303,9 | 0 | 17083 |

| | | | | | | | |
|----|---------|--------|---------|-----|-------|---|-------|
| 40 | ADT8621 | Emitel | | | 302,5 | 0 | 17083 |
| 41 | ADT8621 | Emitel | | | 301,1 | 0 | 17083 |
| 42 | ADT8621 | Emitel | | | 299,7 | 0 | 17083 |
| 43 | ADT8621 | Emitel | | | 298,3 | 0 | 17083 |
| 44 | ADT8621 | Emitel | | | 296,9 | 0 | 17083 |
| 45 | ADT8621 | Emitel | 482-658 | 325 | 308,1 | 0 | 17083 |
| 46 | ADT8621 | Emitel | | | 306,7 | 0 | 17083 |
| 47 | ADT8621 | Emitel | | | 305,3 | 0 | 17083 |
| 48 | ADT8621 | Emitel | | | 303,9 | 0 | 17083 |

Tabela 4. Parametry techniczne układu antenowego 8x4 904HPS (R.Gdańsk, R.PLUS, PR I, PR III, R. ZET, RMF FM)

| L.p. | Pojedyncza antena | Użytkownik | Pasma | Główne kierunki promieniowania | Wysokość zawieszenia | Pochylenie wiązki głównej | EIRP pojedynczej anteny |
|------|-------------------|------------|--------|--------------------------------|----------------------|---------------------------|-------------------------|
| | | | MHz | deg | mnpt | deg | W |
| 1 | 904HPS | Emitel | 88-108 | 12 | 232,9 | 0,65 | 36900 |
| 2 | 904HPS | Emitel | | | 231,5 | 0,65 | 36900 |
| 3 | 904HPS | Emitel | | | 230,1 | 0,65 | 36900 |
| 4 | 904HPS | Emitel | | | 228,7 | 0,65 | 36900 |
| 5 | 904HPS | Emitel | | | 227,3 | 0,65 | 36900 |
| 6 | 904HPS | Emitel | | | 225,9 | 0,65 | 36900 |
| 7 | 904HPS | Emitel | | | 224,5 | 0,65 | 36900 |
| 8 | 904HPS | Emitel | | | 223,1 | 0,65 | 36900 |
| 9 | 904HPS | Emitel | 88-108 | 100 | 232,9 | 0,65 | 36900 |
| 10 | 904HPS | Emitel | | | 231,5 | 0,65 | 36900 |
| 11 | 904HPS | Emitel | | | 230,1 | 0,65 | 36900 |
| 12 | 904HPS | Emitel | | | 228,7 | 0,65 | 36900 |
| 13 | 904HPS | Emitel | | | 227,3 | 0,65 | 36900 |
| 14 | 904HPS | Emitel | | | 225,9 | 0,65 | 36900 |
| 15 | 904HPS | Emitel | | | 224,5 | 0,65 | 36900 |
| 16 | 904HPS | Emitel | | | 223,1 | 0,65 | 36900 |
| 17 | 904HPS | Emitel | 88-108 | 189 | 232,9 | 0,65 | 36900 |
| 18 | 904HPS | Emitel | | | 231,5 | 0,65 | 36900 |
| 19 | 904HPS | Emitel | | | 230,1 | 0,65 | 36900 |
| 20 | 904HPS | Emitel | | | 228,7 | 0,65 | 36900 |
| 21 | 904HPS | Emitel | | | 227,3 | 0,65 | 36900 |
| 22 | 904HPS | Emitel | | | 225,9 | 0,65 | 36900 |
| 23 | 904HPS | Emitel | | | 224,5 | 0,65 | 36900 |
| 24 | 904HPS | Emitel | | | 223,1 | 0,65 | 36900 |
| 25 | 904HPS | Emitel | 88-108 | 279 | 232,9 | 0,65 | 36900 |
| 26 | 904HPS | Emitel | | | 231,5 | 0,65 | 36900 |
| 27 | 904HPS | Emitel | | | 230,1 | 0,65 | 36900 |
| 28 | 904HPS | Emitel | | | 228,7 | 0,65 | 36900 |
| 29 | 904HPS | Emitel | | | 227,3 | 0,65 | 36900 |
| 30 | 904HPS | Emitel | | | 225,9 | 0,65 | 36900 |
| 31 | 904HPS | Emitel | | | 224,5 | 0,65 | 36900 |
| 32 | 904HPS | Emitel | | | 223,1 | 0,65 | 36900 |

Tabela 5. Parametry techniczne radiolinii

| L.p. | Pojedyncza antena | Użytkownik | Pasma | Główne kierunki promieniowania | Wysokość zawieszenia | Pochylenie wiązki głównej | EIRP pojedynczej anteny |
|------|-------------------|------------|-------|--------------------------------|----------------------|---------------------------|-------------------------|
| | | | MHz | deg | mnpt | deg | W |
| 1 | VHLPX4-13-NC3 | Emitel | 13000 | 132 | 35 | 0,5 | 1200 |
| 2 | VHLP1-38-NC3 | Emitel | 38000 | 223,7 | 50,0 | 0,5 | 1000 |
| 3 | VHLP2-23-NC3 | Emitel | 23000 | 220 | 55 | 0,5 | 371,54 |
| 4 | VHLP1-23-NC3 | Emitel | 23000 | 211,6 | 61 | 0,5 | 245,5 |
| 5 | RBLHG-5HPnD | Emitel | 5000 | 114 | 62 | 0,5 | 440 |
| 6 | UKY 220 73/SC15 | Emitel | 23000 | 52,4 | 65,0 | 0,5 | 2089 |
| 7 | AF-5G23-S45 | Emitel | 5000 | 233,9 | 65 | 0,5 | 100 |
| 8 | UKY 23041/11H | Emitel | 23000 | 179,9 | 66,0 | 0,5 | 3162 |
| 9 | VHLP2-18NC3 | Emitel | 18000 | 159,7 | 68,0 | -0,7 | 1097 |
| 10 | VHLP 1-23-NC3 | Emitel | 13000 | 168,3 | 70,0 | -0,7 | 1097 |
| 11 | VHLP1-23-NC3 | Emitel | 23000 | 159,6 | 120 | 0,5 | 245,47 |
| 12 | VHLP2-13S-NC3 | Emitel | 13000 | 321,2 | 142,0 | -0,43 | 1047 |
| 13 | VHLP1-23-NC3 | Emitel | 23000 | 149,3 | 150,0 | -0,1 | 603 |
| 14 | VHLP2-38-NC3 | Emitel | 38000 | 148,2 | 150,0 | 0,5 | 1778,28 |
| 15 | VHLP 1-18-NC3 | Emitel | 18000 | 254,2 | 155,0 | 0,5 | 1174,9 |
| 16 | VHLPX2-32-NC3 | Emitel | 32000 | 206,7 | 162 | 0,5 | 575 |
| 17 | VHLP2-23-NC3 | Emitel | 23000 | 174,7 | 165 | 0,5 | 724,44 |
| 18 | VHLP1-38-NC3 | Emitel | 38000 | 144,4 | 195,0 | -0,55 | 1097 |
| 19 | VHLP2-18-NC3 | Emitel | 18000 | 254,4 | 203,0 | 0,5 | 933,00 |
| 20 | VHLP1-38-NC3 | Emitel | 38000 | 18 | 205 | 0,5 | 263 |
| 21 | VHLP2-13-NC3 | Emitel | 13000 | 156,2 | 207 | 0,5 | 1100 |

Wielkość emisji promieniowania elektromagnetycznego ograniczana jest poprzez zastosowanie najnowocześniejszych technologii używanych dziś na świecie. Są to:

- najwyższej klasy anteny charakteryzujące się wysoką kierunkowością
- cyfryzacja sygnału co pozwala na istotne obniżenie mocy nadwzmaczanych
- stosowanie algorytmów przesyłu pozwalających na maksymalne wykorzystanie pasma częstotliwości

9. Informacja, czy stopień ograniczania wielkości emisji jest zgodny z obowiązującymi przepisami

Zastosowane ograniczenia wielkości emisji zapewniają, że w miejscach dostępnych dla ludności poziom natężenia pola elektromagnetycznego nie przekroczy dopuszczonych prawem wielkości.

10. wyniki pomiarów poziomów pól elektromagnetycznych, o których mowa w art. 122a ustawy z dnia 27 kwietnia 2001 r. - Prawo ochrony środowiska, jeśli takie były wymagane.

Sprawozdanie z pomiarów w załączeniu.

. Miejscowość, data (rok - miesiąc - dzień):

2022-07-26

Imię i nazwisko osoby reprezentującej prowadzącego instalację:

Ryszard Chlebda

Podpis elektroniczny 01.08.2022
zweryfikowany w dniu

Wynik weryfikacji: ...negatywny

INSPEKTOR
Justyna Węsierska



AB 1571

SOLDI

SOLDI s.c. Robert Kłosek, Leszek Duda
ul. Bieżanowska 22
30-812 Kraków

Sprawozdanie nr 180/2022/OS/08

Sprawozdanie z badania natężenia pól elektromagnetycznych
wykonanych w środowisku

Miejsce wykonania badania:

(dane uzyskane od klienta)

RTCN Gdańsk Chwaszczyno

84-209 Chwaszczyno, ul. Telewizyjna 9,
gm. Żukowo, pow. kartuski, woj. pomorskie

Data wydania sprawozdania:

23.06.2022 r.

Data zakończenia badania:

23.06.2022 r.

Klient:

Emitel S.A.

ul. Klimczaka 1
02-797 Warszawa

Podpis elektroniczny
zweryfikowany w dniu 01.08.2022

Wynik weryfikacji: *negatywny*

INSPEKTOR
Justyna Węsierska
Justyna Węsierska

Bez pisemnej zgody laboratorium, sprawozdanie nie może być powielane inaczej, jak tylko w całości.

1. Podstawa prawna

Badania wykonano zgodnie z obecnie występującymi aktami prawnymi:

- Ustawa z dnia 27 kwietnia 2001r. Prawo ochrony środowiska. (Tekst jednolity: Dz. U. 2021 poz. 1973 z zm.).
- Rozporządzenie Ministra Zdrowia z dnia 17 grudnia 2019r. w sprawie dopuszczalnych poziomów pól elektromagnetycznych w środowisku. (Dz. U. 2019 poz. 2448)
- Rozporządzenie Ministra Klimatu z dnia 17 lutego 2020r. w sprawie sposobów sprawdzania dotrzymania dopuszczalnych poziomów pól elektromagnetycznych w środowisku. (Dz. U. 2020 poz. 258)

2. Aparatura pomiarowa

Podczas badań użyto następującej aparatury pomiarowej:

Tabela nr 1

| Miernik szerokopasmowy | Sondy | Zakres częstotliwościowy | Zakres pomiarowy | Świadectwo wzorcowania |
|---------------------------|------------------|--------------------------|------------------|--|
| Narda NBM - 550 Nr B-0714 | EF0392 nr G-0072 | 0,1 – 3 600MHz | 0,8-1000 V/m | LWiMP/W/345/20; data wydania: 18.12.2020 |
| Narda NBM - 550 Nr B-0714 | EF6091 nr 01096 | 80 – 90 000MHz | 0,8-300 V/m | LWiMP/W/345/20; data wydania: 18.12.2020 |

Aparaturę pomiarową charakteryzują następujące wartości niepewności pomiaru obliczone i przedstawiona zgodnie z dokumentem PN-EN 50413. Podane wartości niepewności stanowią niepewności rozszerzone dla poziomu ufności 95% i współczynnika rozszerzenia $k=2$

Niepewność pomiarowa wyznaczona dla zainstalowanych i skonfigurowanych obiektów – źródeł pól, jak w dniu pomiaru wynosi 35%.

Dodatkowa aparatura pomiarowa:

- Kompas (busola) [UP/30/Sw]
- Termohigrometr TFA nr 4433 (Świadectwo Wzorcowania: 0197/AH/21; data wydania: 12.02.2021)
- Taśma Miernicza Geodezyjna 50 m (Świadectwo Wzorcowania: U/21/51-512120028.3; data wydania: 10.03.2021)
- Odbiornik GPS REALME GT Neo2 5G

3. Współpraca z klientem

Działanie Laboratorium służy zawsze rozwiązywaniu problemów i spełnianiu wymagań klienta.

Laboratorium zobowiązuje się do przestrzegania warunków określonych przez klienta, dotyczących bezstronności i poufności badań a także ochrony jego praw, jeżeli nie jest to sprzeczne z obowiązującym prawem.

Klient ma możliwość złożenia skargi w terminie 14 dni, licząc od daty przyjęcia sprawozdania.

4. Opis badania

Badanie przeprowadziło Laboratorium Badawcze Soldi na podstawie zlecenia firmy Emitel S.A.

Badanie wykonano zgodnie z:

Załącznik do Rozporządzenia Ministra Klimatu z dnia 17 lutego 2020 r. w sprawie sposobów sprawdzania dotrzymania dopuszczalnych poziomów pól elektromagnetycznych w środowisku. (Dz. U. 2020 poz. 258)

Badania promieniowania elektromagnetycznego, którego źródłem są urządzenia wyszczególnione w pkt. 5 przeprowadzono w pionach pomiarowych w szczególności w tych miejscach, w których na podstawie uprzednio przeprowadzonych obliczeń, stwierdzono występowanie w danych zakresach częstotliwości pól elektromagnetycznych o najwyższych spodziewanych poziomach. Badania pól elektromagnetycznych przeprowadzono w pionach pomiarowych wzdłuż głównych kierunków pomiarowych, dodatkowych pionach oraz w miejscach dostępnych dla ludności w otoczeniu instalacji. W przyjętych pionach pomiarowych pomiary wykonano na wysokościach od 0,3 m do 2,0 m nad powierzchnią terenu albo nad innymi miejscami dostępnymi dla ludności. W pobliżu urządzeń, obiektów i elementów metalowych pomiary wykonano w odległości nie mniejszej niż 0,3 m od tych urządzeń, obiektów i elementów metalowych.

Za wynik pomiaru wpisany w Tabeli nr 6 kolumnie 8 niniejszego sprawozdania, uznaje się wartość wyznaczoną jako iloczyn maksymalnej chwilowej wartości zmierzonej i poprawki pomiarowej, powiększoną o rozszerzoną niepewność pomiaru U dla współczynnika rozszerzenia $k=2$.

5. Informacje przekazane przez klienta

Tabela Nr 2 – Informacje o zleceniu

Tabela Nr 3 – Informacje o obiekcie

Tabela Nr 4 – Dane techniczne źródła pól

Tabela Nr 2

| ZLECENIE | |
|---|---|
| Zleceniodawca pomiarów: | Emitel S.A. z siedzibą w Warszawie przy ul. F. Klimczaka 1 |
| Zlecenie: | Zamówienie nr 32084 z dnia 25.05.2022 roku |
| Osoba udzielająca informacji do sprawozdania: | Przedstawiciel zleceniodawcy Pani Marta Głuch - Koordynator wiodący |

Tabela Nr 3

| OBIEKT | |
|-------------------------------|--|
| Właściciel: | Emitel S.A. |
| Nazwa: | RTCN Gdańsk Chwaszczyno |
| Rodzaj instalacji: | Radiowo -Telewizyjne Centrum Nadawcze |
| Adres: | 84-209 Chwaszczyno ul. Telewizyjna 9, |
| Współrzędne geograficzne: | 54 °27'10.30"N 18 °26'09.20"E |
| Charakterystyka otoczenia: | Obiekt zlokalizowany jest na terenie wiejskim. W najbliższym otoczeniu obiektu znajdują się tereny rolne i zabudowa przemysłowa. |
| Wysokość posadowienia masztu: | 187,4 m n.p.m. |
| Wysokość masztu : | 317m n.p.t. |

Tabela Nr 4

| URZĄDZENIA EMITEL | | | | | |
|-----------------------------------|------------------------------------|--------------------------------|---|---------------------------|--|
| Urządzenie Obciążenie (antena) | Nr źródła | 1 | 2 | 3 | 4 |
| | Użytkownik | Emitel S.A. | Emitel S.A. | Emitel S.A. | Emitel S.A. |
| | Typ nadajnika | Linia radiowa | Linia radiowa | Linia radiowa | Linia radiowa |
| | Częstotliwość znamionowa | 13 GHz | 38 GHz | 23 GHz | 23 GHz |
| | Moc wyjściowa rzeczywista | Brak danych | Brak danych | Brak danych | Brak danych |
| | Wysokość zainstalowania [m n.p.t.] | 35,0 | 50,0 | 55,0 | 61,0 |
| | Typ anteny | VHPLX4-13-NC3 | VHLP1-38-NC3 | VHLP 2-23-NC3 | VHLP1-23-NC3 |
| | Konfiguracja | 1 x 1 | 1 x 1 | 1 x 1 | 1 x 1 |
| | Moc promieniowania (ERP) | Brak danych | Brak danych | Brak danych | Brak danych |
| | Charakterystyka promieniowania | Kierunkowa | Kierunkowa | Kierunkowa | Kierunkowa |
| | Azymut [°] | 132 kier. RTON Gdańsk/JK | 223,7 kier. OOM Tuchom / ul. Gdyńska 32 | 220 kier. OOM Miszewko | 211,6 kier. OOM Miszewo / ul. Gdyńska 40 |
| | Producent | Andrew Corp. | Andrew Corp. | Andrew Corp. | Andrew Corp. |

Tabela Nr 4 c.d.

| URZĄDZENIA EMITEL | | | | | |
|-----------------------------------|------------------------------------|--|---|--|--|
| Urządzenie Obciążenie (antena) | Nr źródła | 5 | 6 | 7 | 8 |
| | Użytkownik | Emitel S.A. | Emitel S.A. | Emitel S.A. | Emitel S.A. |
| | Typ nadajnika | Linia radiowa | Linia radiowa | Linia radiowa | Linia radiowa |
| | Częstotliwość znamionowa | 5 GHz | 38 GHz | 5 GHz | 38 GHz |
| | Moc wyjściowa rzeczywista | Brak danych | Brak danych | Brak danych | Brak danych |
| | Wysokość zainstalowania [m n.p.t.] | 62,0 | 65,0 | 65,0 | 66,0 |
| | Typ anteny | RBLHG-5HPnD | UKY 220 73/SC15 | AF-5G23-S45 | UKY 220 73/SC15 |
| | Konfiguracja | 1 x 1 | 1 x 1 | 1 x 1 | 1 x 1 |
| | Moc promieniowania (ERP) | Brak danych | Brak danych | Brak danych | Brak danych |
| | Charakterystyka promieniowania | Kierunkowa | Kierunkowa | Kierunkowa | Kierunkowa |
| | Azymut [°] | 114 kier. OOM Gdynia / ul. Świętokrzyska (Paweł Grygoruk) | 52,4 kier. OM Gdynia/ Chwaszczyńska | 233,9 kier. LIDL Chwaszczyno | 179,9 kier. Gdańsk ul. Słowackiego 249 |
| | Producent | Mikrotik | Ericsson | Ubiquiti Networks | Ericsson |
| Urządzenie Obciążenie (antena) | Nr źródła | 9 | 10 | 11 | 12 |
| | Użytkownik | Emitel S.A. | Emitel S.A. | Emitel S.A. | Emitel S.A. |
| | Typ nadajnika | Linia radiowa | Linia radiowa | Linia radiowa | Linia radiowa |
| | Częstotliwość znamionowa | 18 GHz | 23 GHz | 23 GHz | 13 GHz |
| | Moc wyjściowa rzeczywista | Brak danych | Brak danych | Brak danych | Brak danych |
| | Wysokość zainstalowania [m n.p.t.] | 68,0 | 70,0 | 120,0 | 142,0 |
| | Typ anteny | VHLP2-18-NC3 | VHLP1-23-NC3 | VHLP1-23-NC3 | VHLP2-130-NC3 |
| | Konfiguracja | 1 x 1 | 1 x 1 | 1 x 1 | 1 x 1 |
| | Moc promieniowania (ERP) | Brak danych | Brak danych | Brak danych | Brak danych |
| | Charakterystyka promieniowania | Kierunkowa | Kierunkowa | Kierunkowa | Kierunkowa |
| | Azymut [°] | 159,7 kier. OOM Gdańsk ul. Słowackiego 196 | 168,3 kier. OOM Gdańsk / Słowackiego PAZP | 159,6 kier. OOM Gdańsk / ul. Słowackiego 175 | 321,2 kier. OM Czymanowo |
| | Producent | Andrew Corp. | Andrew Corp. | Andrew Corp. | Andrew Corp. |

Tabela Nr 4 c.d.

| URZĄDZENIA EMITEL | | | | | |
|-----------------------------------|------------------------------------|---|---|---|--|
| Urządzenie Obciążenie (antena) | Nr źródła | 13 | 14 | 15 | 16 |
| | Użytkownik | Emitel S.A. | Emitel S.A. | Emitel S.A. | Emitel S.A. |
| | Typ nadajnika | Linia radiowa | Linia radiowa | Linia radiowa | Linia radiowa |
| | Częstotliwość znamionowa | 23 GHz | 38 GHz | 18 GHz | 32 GHz |
| | Moc wyjściowa rzeczywista | Brak danych | Brak danych | Brak danych | Brak danych |
| | Wysokość zainstalowania [m n.p.t.] | 150,0 | 150,0 | 155,0 | 162,0 |
| | Typ anteny | VHLP1-23-NC3 | VHLP2-38-NC3 | VHLP1-18-NC3 | VHLPX2-32-NC3 |
| | Konfiguracja | 1 x 1 | 1 x 1 | 1 x 1 | 1 x 1 |
| | Moc promieniowania (ERP) | Brak danych | Brak danych | Brak danych | Brak danych |
| | Charakterystyka promieniowania | Kierunkowa | Kierunkowa | Kierunkowa | Kierunkowa |
| | Azymut [°] | 149,3 kier. OOM Gdańsk / Złota Karczma 26 | 148,2 kier. Gdańsk ul. Złota Karczma 26 | 254,2 kier. OM Pomieczyno ul. Spacerowa 32 | 206,7 kier. OOM Banino |
| | Producent | Andrew Corp. | Andrew Corp. | Andrew Corp. | Andrew Corp. |
| Urządzenie Obciążenie (antena) | Nr źródła | 17 | 18 | 19 | 20 |
| | Użytkownik | Emitel S.A. | Emitel S.A. | Emitel S.A. | Emitel S.A. |
| | Typ nadajnika | Linia radiowa | Linia radiowa | Linia radiowa | Linia radiowa |
| | Częstotliwość znamionowa | 23 GHz | 38 GHz | 18 GHz | 38 GHz |
| | Moc wyjściowa rzeczywista | Brak danych | Brak danych | Brak danych | Brak danych |
| | Wysokość zainstalowania [m n.p.t.] | 165,0 | 195,0 | 203,0 | 205,0 |
| | Typ anteny | VHLP2-23-NC3B | VHLP1-38-NC3 | VHLP2-18-NC3 | VHLP1-38-NC3 |
| | Konfiguracja | 1 x 1 | 1 x 1 | 1 x 1 | 1 x 1 |
| | Moc promieniowania (ERP) | Brak danych | Brak danych | Brak danych | Brak danych |
| | Charakterystyka promieniowania | Kierunkowa | Kierunkowa | Kierunkowa | Kierunkowa |
| | Azymut [°] | 174,7 kier. OOM Gdańsk / Bysewo DPD | 144,4 kier. OM Gdańsk/Astronomów 20 | 254,4 kier. OM Pomieczyno/Spacero wa 26/28 | 18 kier. OOM Gdynia ul. Chwarzniowska 170F |
| | Producent | Andrew Corp. | Andrew Corp. | Andrew Corp. | Andrew Corp. |

Tabela Nr 4 c.d.

| URZĄDZENIA EMITEL | | | | | |
|-----------------------------------|------------------------------------|--------------------------------------|----------------|------------------------|----------------|
| Urządzenie Obciążenie (antena) | Nr źródła | 21 | | | |
| | Użytkownik | Emitel S.A. | | | |
| | Typ nadajnika | Linia radiowa | | | |
| | Częstotliwość znamionowa | 13 GHz | | | |
| | Moc wyjściowa rzeczywista | Brak danych | | | |
| | Wysokość zainstalowania [m n.p.t.] | 207,0 | | | |
| | Typ anteny | VHLP2-13-NC3 | | | |
| | Konfiguracja | 1 x 1 | | | |
| | Moc promieniowania (ERP) | Brak danych | | | |
| | Charakterystyka promieniowania | Kierunkowa | | | |
| | Azymut [°] | 156,2 kier. OOM Będzieszyn 103 | | | |
| | Producent | Andrew Corp. | | | |
| URZĄDZENIA EMITEL – RADIODYFUZJA | | | | | |
| Urządzenie Obciążenie (antena) | Nr źródła | 22 | 23 | 24 | 25 |
| | Użytkownik | DVB-T MUX 8 | RMF FM | Radio PLUS | Radio Gdańsk |
| | Typ nadajnika | TMV9 | NR 8210 | NRM-10S | NR 8210 |
| | Częstotliwość znamionowa | 184,5 MHz | 98,4 MHz | 101,7 MHz | 103,7 MHz |
| | Moc wyjściowa rzeczywista | 1,18 kW | 9,13 kW | 9,19 kW | 9,02 kW |
| | Wysokość zainstalowania [m n.p.t.] | 275,0 | 228,0 | 228,0 | 228,0 |
| | Typ anteny | K 52 30 57 | 904HPS | 904HPS | 904HPS |
| | Konfiguracja | 12x5 | 8x4 | 8x4 | 8x4 |
| | Moc promieniowania (ERP) | 20,0 | 120,0 | 120,0 | 120,0 |
| | Charakterystyka promieniowania | Kierunkowa | Kierunkowa | Kierunkowa | Kierunkowa |
| | Azymut [°] | 20;93;165;234;308 | 12;100;189;279 | 12;100;189;279 | 12;100;189;279 |
| | Producent | Kathrein | RFS | RFS | RFS |
| Urządzenie Obciążenie (antena) | Nr źródła | 26 | 27 | 28 | 29 |
| | Użytkownik | MUX R3 | Program 3 PR | DVB-T2 MUX TVP Testowy | Program 1 PR |
| | Typ nadajnika | TMV9 | NR 8210 | THU9evo | NR 8210 |
| | Częstotliwość znamionowa | 176,64 MHz | 99,9 MHz | 586 MHz | 95,7 MHz |
| | Moc wyjściowa rzeczywista | 1,45 kW | 9,29 kW | 2,759 kW | 9,3 kW |
| | Wysokość zainstalowania [m n.p.t.] | 275,0 | 228,0 | 306,0 | 228,0 |
| | Typ anteny | K 52 30 57 | 904HPS | ADT 8621 | 904HPS |
| | Konfiguracja | 12x5 | 8x4 | (16x1)+(14x2)+(4x1) | 8x4 |
| | Moc promieniowania (ERP) | 24,0 | 120,0 | 100,0 | 120,0 |
| | Charakterystyka promieniowania | Kierunkowa | Kierunkowa | Kierunkowa | Kierunkowa |
| | Azymut [°] | 20;93;165;234;308 | 12;100;189;279 | 55;145;235;325 | 12;100;189;279 |
| | Producent | Kathrein | RFS | TESLA | RFS |

Tabela Nr 4 c.d.

| URZĄDZENIA EMITEL – RADIODYFUZJA | | | | | |
|-----------------------------------|---------------------------------------|-------------------------|-------------------------|-------------------------|---------------------|
| Urządzenie Obciążenie (antena) | Nr źródła | 30 | 31 | 32 | 33 |
| | Użytkownik | Radio ZET | DVB-T2 MUX 4 | DVB-T2 MUX 1 | DVB-T2 MUX 3 |
| | Typ nadajnika | THR9 | THU9evo | THU9evo | THU9evo |
| | Częstotliwość znamionowa | 105 MHz | 506 MHz | 602 MHz | 482 MHz |
| | Moc wyjściowa rzeczywista | 8,43 kW | 2,947 kW | 2,471 kW | 2,991 kW |
| | Wysokość zainstalowania [m n.p.t.] | 228,0 | 306,0 | 306,0 | 306,0 |
| | Typ anteny | 904HPS | ADT 8621 | ADT 8621 | ADT 8621 |
| | Konfiguracja | 8x4 | (16x1)+(14x2)+(4x1) | (16x1)+(14x2)+(4x1) | (16x1)+(14x2)+(4x1) |
| | Moc promieniowania (ERP) | 120,0 | 100,0 | 100,0 | 100,0 |
| | Charakterystyka promieniowania | Kierunkowa | Kierunkowa | Kierunkowa | Kierunkowa |
| | Azymut [°] | 12;100;189;279 | 55;145;235;325 | 55;145;235;325 | 55;145;235;325 |
| | Producent | RFS | TESLA | TESLA | TESLA |
| Urządzenie Obciążenie (antena) | Nr źródła | 34 | 35 | | |
| | Użytkownik | Radio Kaszebe | DVB-T2 MUX 2 | | |
| | Typ nadajnika | EXC 1000 GT | THU9evo | | |
| | Częstotliwość znamionowa | 92,3 MHz | 658 MHz | | |
| | Moc wyjściowa rzeczywista | 1,0 kW | 2,457 kW | | |
| | Wysokość zainstalowania [m n.p.t.] | 210,0 | 306,0 | | |
| | Typ anteny | EAR 203 | ADT 8621 | | |
| | Konfiguracja | 1x2 | (16x1)+(14x2)+(4x1) | | |
| | Moc promieniowania (ERP) | 2,0 | 100,0 | | |
| | Charakterystyka promieniowania | Kierunkowa | Kierunkowa | | |
| | Azymut [°] | 185;285 | 55;145;235;325 | | |
| | Producent | ANEX | TESLA | | |
| URZĄDZENIA INNYCH OPERATORÓW | | | | | |
| Urządzenie Obciążenie (antena) | Nr źródła | 36 | 37 | 38 | 39 |
| | Użytkownik | T-Mobile Polska S.A. | T-Mobile Polska S.A. | T-Mobile Polska S.A. | Netia S.A. |
| | Typ nadajnika | Linia radiowa | Linia radiowa | Linia radiowa | Linia radiowa |
| | Częstotliwość znamionowa | Brak danych | Brak danych | Brak danych | Brak danych |
| | Moc wyjściowa rzeczywista | Brak danych | Brak danych | Brak danych | Brak danych |
| | Wysokość zainstalowania [m n.p.t.] | 24,5 | 26,0 | 26,8 | 27,5 |
| | Typ anteny | VHLP1-370 | UKY 230 41/07H | - | VHLP1 |
| | Konfiguracja | 1 x 1 | 1 x 1 | 1 x 1 | 1 x 1 |
| | Moc promieniowania (ERP) | Brak danych | Brak danych | Brak danych | Brak danych |
| | Charakterystyka promieniowania | Kierunkowa | Kierunkowa | Kierunkowa | Kierunkowa |
| | Azymut [°] | 207 | 222 | 151 | 180 |
| | Producent | Andrew Corp. | Ericsson | Ericsson | Andrew Corp. |

Tabela Nr 4 c.d.

| URZĄDZENIA INNYCH OPERATORÓW | | | | | |
|-----------------------------------|------------------------------------|--------------------------|--------------------------|---------------|----------------------|
| Urządzenie Obciążenie (antena) | Nr źródła | 40 | 41 | 42 | 43 |
| | Użytkownik | Netia S.A. | Netia S.A. | Netia S.A. | Netia S.A. |
| | Typ nadajnika | Linia radiowa | Linia radiowa | Linia radiowa | Linia radiowa |
| | Częstotliwość znamionowa | Brak danych | Brak danych | Brak danych | Brak danych |
| | Moc wyjściowa rzeczywista | Brak danych | Brak danych | Brak danych | Brak danych |
| | Wysokość zainstalowania [m n.p.t.] | 27,7 | 28,0 | 29,0 | 30,0 |
| | Typ anteny | SB1-220BNEC | SBX1-320 | - | VHLP1-38 |
| | Konfiguracja | 1 x 1 | 1 x 1 | 1 x 1 | 1 x 1 |
| | Moc promieniowania (ERP) | Brak danych | Brak danych | Brak danych | Brak danych |
| | Charakterystyka promieniowania | Kierunkowa | Kierunkowa | Kierunkowa | Kierunkowa |
| | Azymut [°] | 180 | 180 | 180 | 51 |
| | Producent | RFS | RFS | Andrew Corp. | - |
| Urządzenie Obciążenie (antena) | Nr źródła | 44 | 45 | 46 | 47 |
| | Użytkownik | Orange Polska S.A. - PTK | Orange Polska S.A. - PTK | Netia S.A. | T-Mobile Polska S.A. |
| | Typ nadajnika | Antena Sektorowa | Antena Sektorowa | Linia radiowa | Linia radiowa |
| | Częstotliwość znamionowa | Brak danych | Brak danych | Brak danych | Brak danych |
| | Moc wyjściowa rzeczywista | Brak danych | Brak danych | Brak danych | Brak danych |
| | Wysokość zainstalowania [m n.p.t.] | 37,7 | 37,7 | 45,0 | 46,5 |
| | Typ anteny | ATR4518R6 | 80010872 | VHLP1-38-NC3 | VHLP1-38 |
| | Konfiguracja | 1 x 3 | 1 x 3 | 1 x 1 | 1 x 1 |
| | Moc promieniowania (ERP) | Brak danych | Brak danych | Brak danych | Brak danych |
| | Charakterystyka promieniowania | Kierunkowa | Kierunkowa | Kierunkowa | Kierunkowa |
| | Azymut [°] | 40;150;240 | 40;150;240 | 159 | 349 |
| | Producent | Huawei | - | Andrew Corp. | Andrew Corp. |
| Urządzenie Obciążenie (antena) | Nr źródła | 48 | 49 | 50 | 51 |
| | Użytkownik | Netia S.A. | Netia S.A. | Netia S.A. | Netia S.A. |
| | Typ nadajnika | Linia radiowa | Linia radiowa | Linia radiowa | Linia radiowa |
| | Częstotliwość znamionowa | Brak danych | Brak danych | Brak danych | Brak danych |
| | Moc wyjściowa rzeczywista | Brak danych | Brak danych | Brak danych | Brak danych |
| | Wysokość zainstalowania [m n.p.t.] | 50,0 | 52,0 | 52,0 | 54,0 |
| | Typ anteny | VHLP1 | VHLP1-38 | VHLP1-38 | VHLP1-32 |
| | Konfiguracja | 1 x 1 | 1 x 1 | 1 x 1 | 1 x 1 |
| | Moc promieniowania (ERP) | Brak danych | Brak danych | Brak danych | Brak danych |
| | Charakterystyka promieniowania | Kierunkowa | Kierunkowa | Kierunkowa | Kierunkowa |
| | Azymut [°] | 64 | 137 | 315 | 166 |
| | Producent | Netia S.A. | Netia S.A. | Netia S.A. | Netia S.A. |

Tabela Nr 4 c.d.

| URZĄDZENIA INNYCH OPERATORÓW | | | | | |
|-----------------------------------|------------------------------------|---|----------------------|-----------------|-----------------------------|
| Urządzenie Obciążenie (antena) | Nr źródła | 52 | 53 | 54 | 55 |
| | Użytkownik | Netia S.A. | T-Mobile Polska S.A. | Netia S.A. | T-Mobile Polska S.A. |
| | Typ nadajnika | Linia radiowa | Linia radiowa | Linia radiowa | Linia radiowa |
| | Częstotliwość znamionowa | Brak danych | Brak danych | Brak danych | Brak danych |
| | Moc wyjściowa rzeczywista | Brak danych | Brak danych | Brak danych | Brak danych |
| | Wysokość zainstalowania [m n.p.t.] | 54,0 | 57,0 | 57,5 | 58,0 |
| | Typ anteny | VHLP1-23 | UKY 230 41/07H | VHLP 1-32 | UKY 230 41/07H |
| | Konfiguracja | 1 x 1 | 1 x 1 | 1 x 1 | 1 x 1 |
| | Moc promieniowania (ERP) | Brak danych | Brak danych | Brak danych | Brak danych |
| | Charakterystyka promieniowania | Kierunkowa | Kierunkowa | Kierunkowa | Kierunkowa |
| | Azymut [°] | 162 | 30 | 47 | 141 |
| | Producent | Netia S.A. | Ericsson | Andrew Corp. | Ericsson |
| Urządzenie Obciążenie (antena) | Nr źródła | 56 | 57 | 58 | 59 |
| | Użytkownik | Gdańskie Autobusy i Tramwaje Sp. z o.o. | KWP w Gdańsku | KWP w Gdańsku | T-Mobile Polska S.A. |
| | Typ nadajnika | Antena | Antena | Linia radiowa | Linia radiowa |
| | Częstotliwość znamionowa | Brak danych | Brak danych | Brak danych | Brak danych |
| | Moc wyjściowa rzeczywista | Brak danych | Brak danych | Brak danych | Brak danych |
| | Wysokość zainstalowania [m n.p.t.] | 65,0 | 65,0 | 66,0 | 66,0 |
| | Typ anteny | K 752921 | CXL2-3LW | VHLP1-23 | VHLP1-38 |
| | Konfiguracja | 1 x 1 | 1 x 1 | 1 x 1 | 1 x 1 |
| | Moc promieniowania (ERP) | Brak danych | Brak danych | Brak danych | Brak danych |
| | Charakterystyka promieniowania | Dookólna | Dookólna | Kierunkowa | Kierunkowa |
| | Azymut [°] | - | - | 30 | 268 |
| | Producent | Kathrein | - | Andrew Corp. | Andrew Corp. |
| | Nr źródła | 60 | 61 | 62 | 63 |
| | Użytkownik | Mobile Polska S.A | ABW w Warszawie | ABW w Warszawie | Towerlink Poland sp. z o.o. |
| | Typ nadajnika | Linia radiowa | Antena | Antena | Linia radiowa |
| | Częstotliwość znamionowa | Brak danych | Brak danych | Brak danych | Brak danych |
| | Moc wyjściowa rzeczywista | Brak danych | Brak danych | Brak danych | Brak danych |
| | Wysokość zainstalowania [m n.p.t.] | 66,5 | 67,0 | 68,0 | 75,5 |
| Typ anteny | VHLP1-32 | K751637 | K751637 | VHLP2-180A | |
| Konfiguracja | 1 x 1 | 1 x 1 | 1 x 1 | 1 x 1 | |
| Moc promieniowania (ERP) | Brak danych | Brak danych | Brak danych | Brak danych | |
| Charakterystyka promieniowania | Kierunkowa | Dookólna | Dookólna | Kierunkowa | |
| Azymut [°] | 225 | 90 | 210 | 302 | |
| Producent | Andrew Corp. | Karelma | Karelma | Andrew Corp. | |

Tabela Nr 4 c.d.

| URZĄDZENIA INNYCH OPERATORÓW | | | | | |
|------------------------------------|------------------------------------|-----------------------------------|-----------------------------------|-----------------------------|-----------------------------|
| Urządzenie Obciążenie (antena) | Nr źródła | 64 | 65 | 66 | 67 |
| | Użytkownik | Towerlink Poland sp. z o.o. | P4 Sp. z o.o. | Towerlink Poland sp. z o.o. | Towerlink Poland sp. z o.o. |
| | Typ nadajnika | Antena dwupolaryzacyjna | Antena Sektorowa | Antena Sektorowa | Antena Sektorowa |
| | Częstotliwość znamionowa | Brak danych | Brak danych | Brak danych | Brak danych |
| | Moc wyjściowa rzeczywista | Brak danych | Brak danych | Brak danych | Brak danych |
| | Wysokość zainstalowania [m n.p.t.] | 75,5 | 77,5 | 80 | 80,0 |
| | Typ anteny | VHLPX2-23 | ASI4517R3v06 | A264521R1v06 | AMB4520R8 |
| | Konfiguracja | 1 x 1 | 1 x 3 | 1 x 1 | 1 x 2 |
| | Moc promieniowania (ERP) | Brak danych | Brak danych | Brak danych | Brak danych |
| | Charakterystyka promieniowania | Kierunkowa | Kierunkowa | Kierunkowa | Kierunkowa |
| | Azymut [°] | 215 | 135;225;315 | 220 | 140;300 |
| | Producent | Andrew Corp. | Huawei | Huawei | Huawei |
| | Nr źródła | 68 | 69 | 70 | 71 |
| | Użytkownik | Towerlink Poland sp. z o.o. | Towerlink Poland sp. z o.o. | Towerlink Poland sp. z o.o. | T-Mobile Polska S.A. |
| | Typ nadajnika | Antena Sektorowa | Antena Sektorowa | Antena Sektorowa | Linia radiowa |
| | Częstotliwość znamionowa | Brak danych | Brak danych | Brak danych | Brak danych |
| | Moc wyjściowa rzeczywista | Brak danych | Brak danych | Brak danych | Brak danych |
| | Wysokość zainstalowania [m n.p.t.] | 82,7 | 86,8 | 86,8 | 90,5 |
| | Typ anteny | AQU4518R11 v07 | BSA1401 | BSA1401 | VHLP2-23-NC3 |
| | Konfiguracja | 1 x 3 | 1 x 2 | 1 x 1 | 1 x 1 |
| Moc promieniowania (ERP) | Brak danych | Brak danych | Brak danych | Brak danych | |
| Charakterystyka promieniowania | Kierunkowa | Kierunkowa | Kierunkowa | Kierunkowa | |
| Azymut [°] | 130;220;310 | 0;120 | 240 | 217 | |
| Producent | Huawei | ADC Telecommunications | Kathrein | Andrew Corp. | |
| Nr źródła | 72 | 73 | 74 | 75 | |
| Użytkownik | P4 Sp. z o.o. | Solid Group Spółka z o. o. Sp. k. | Solid Group Spółka z o. o. Sp. k. | T-Mobile Polska S.A. | |
| Typ nadajnika | Linia radiowa | Linia radiowa | Linia radiowa | Linia radiowa | |
| Częstotliwość znamionowa | Brak danych | Brak danych | Brak danych | Brak danych | |
| Moc wyjściowa rzeczywista | Brak danych | Brak danych | Brak danych | Brak danych | |
| Wysokość zainstalowania [m n.p.t.] | 93,0 | 105,0 | 105,0 | 110,0 | |
| Typ anteny | VHLP1 | KAD 165 | KAD 170 | VHLP1-38 | |
| Konfiguracja | 1 x 1 | 1 x 1 | 1 x 1 | 1 x 1 | |
| Moc promieniowania (ERP) | Brak danych | Brak danych | Brak danych | Brak danych | |
| Charakterystyka promieniowania | Kierunkowa | Dookólna | Dookólna | Kierunkowa | |
| Azymut [°] | 217 | 180 | 180 | 71 | |
| Producent | Andrew Corp. | Andrew Corp. | Andrew Corp. | Andrew Corp. | |

Tabela Nr 4 c.d.

| URZĄDZENIA INNYCH OPERATORÓW | | | | | |
|------------------------------------|------------------------------------|-------------------------------|------------------------|-----------------------------|----------------------|
| Urządzenie Obciążenie (antena) | Nr źródła | 76 | 77 | 78 | 79 |
| | Użytkownik | T-Mobile Polska S.A. | T-Mobile Polska S.A. | Towerlink Poland sp. z o.o. | T-Mobile Polska S.A. |
| | Typ nadajnika | Linia radiowa | Linia radiowa | Linia radiowa | Linia radiowa |
| | Częstotliwość znamionowa | Brak danych | Brak danych | Brak danych | Brak danych |
| | Moc wyjściowa rzeczywista | Brak danych | Brak danych | Brak danych | Brak danych |
| | Wysokość zainstalowania [m n.p.t.] | 112,0 | 11,3 | 115,0 | 115,5 |
| | Typ anteny | VHLP1-38 | VHLP2-80 | UKY 210 41/DC15 | VHLP1-23-NC3 |
| | Konfiguracja | 1 x 1 | 1 x 1 | 1 x 1 | 1 x 1 |
| | Moc promieniowania (ERP) | Brak danych | Brak danych | Brak danych | Brak danych |
| | Charakterystyka promieniowania | Kierunkowa | Kierunkowa | Kierunkowa | Kierunkowa |
| | Azymut [°] | 288 | 51 | 138 | 159 |
| | Producent | Andrew Corp. | Andrew Corp. | Ericsson | Andrew Corp. |
| | Nr źródła | 80 | 81 | 82 | 83 |
| | Użytkownik | ENERGA Operator S.A. | Netia S.A. | Netia S.A. | KWP w Gdańsku |
| | Typ nadajnika | Antena Sektorowa | Linia radiowa | Linia radiowa | Antena |
| | Częstotliwość znamionowa | Brak danych | Brak danych | Brak danych | Brak danych |
| | Moc wyjściowa rzeczywista | Brak danych | Brak danych | Brak danych | Brak danych |
| | Wysokość zainstalowania [m n.p.t.] | 124,0 | 145,0 | 145,0 | 145 |
| | Typ anteny | 5043015 | VHLP1-38 | VHLP1-38 | CXL2-3LW |
| | Konfiguracja | 1 x 3 | 1 x 1 | 1 x 1 | 1 x 1 |
| Moc promieniowania (ERP) | Brak danych | Brak danych | Brak danych | Brak danych | |
| Charakterystyka promieniowania | Kierunkowa | Kierunkowa | Kierunkowa | Dookólna | |
| Azymut [°] | 0;120;240 | 46 | 130 | - | |
| Producent | Amphenol Antenna Solutions | Andrew Corp. | Andrew Corp. | - | |
| Nr źródła | 84 | 85 | 86 | 87 | |
| Użytkownik | Polski Związek Krótkofalowców | Polski Związek Krótkofalowców | IKOL System Sp. z o.o. | T-Mobile Polska S.A. | |
| Typ nadajnika | Antena | Antena | Antena | Linia radiowa | |
| Częstotliwość znamionowa | Brak danych | Brak danych | Brak danych | Brak danych | |
| Moc wyjściowa rzeczywista | Brak danych | Brak danych | Brak danych | Brak danych | |
| Wysokość zainstalowania [m n.p.t.] | 161,0 | 161,0 | 164,0 | 169,0 | |
| Typ anteny | Brak danych | Brak danych | PD 220-6 | VHLP1-130 | |
| Konfiguracja | Brak danych | Brak danych | Brak danych | Brak danych | |
| Moc promieniowania (ERP) | Brak danych | Brak danych | Brak danych | Brak danych | |
| Charakterystyka promieniowania | Dookólna | Dookólna | Dookólna | Kierunkowa | |
| Azymut [°] | - | - | - | 144 | |
| Producent | Radmor | Radmor | Brak danych | Linia radiowa | |

Tabela Nr 4 c.d.

| URZĄDZENIA INNYCH OPERATORÓW | | | | | |
|-----------------------------------|------------------------------------|---|----------------------|---------------------|----------------------|
| Urządzenie Obciążenie (antena) | Nr źródła | 88 | 89 | 90 | 91 |
| | Użytkownik | Gdańskie Autobusy i Tramwaje Sp. z o.o. | T-Mobile Polska S.A. | Netia S.A. | T-Mobile Polska S.A. |
| | Typ nadajnika | Antena Sektorowa | Linia radiowa | Linia radiowa | Linia radiowa |
| | Częstotliwość znamionowa | Brak danych | Brak danych | Brak danych | Brak danych |
| | Moc wyjściowa rzeczywista | Brak danych | Brak danych | Brak danych | Brak danych |
| | Wysokość zainstalowania [m n.p.t.] | 170,0 | 170,5 | 180,0 | 170,0 |
| | Typ anteny | K 739504 | VHLP1-38 | VHLP1-38 | - |
| | Konfiguracja | 1 x 1 | 1 x 1 | 1 x 1 | 1 x 1 |
| | Moc promieniowania (ERP) | Brak danych | Brak danych | Brak danych | Brak danych |
| | Charakterystyka promieniowania | Kierunkowa | Kierunkowa | Kierunkowa | Kierunkowa |
| | Azymut [°] | 180 | 67 | 152 | 188 |
| | Producent | Kathrein | Andrew Corp. | Andrew Corp. | - |
| | Nr źródła | 92 | 93 | 94 | 95 |
| | Użytkownik | KWP w Gdańsku | KWP w Gdańsku | NASK Spółka Akcyjna | NASK Spółka Akcyjna |
| | Typ nadajnika | Antena | Antena | Antena Sektorowa | Antena Sektorowa |
| | Częstotliwość znamionowa | Brak danych | Brak danych | Brak danych | Brak danych |
| | Moc wyjściowa rzeczywista | Brak danych | Brak danych | Brak danych | Brak danych |
| | Wysokość zainstalowania [m n.p.t.] | 190,0 | 195,0 | 202,0 | 205,0 |
| | Typ anteny | CXL2-3LW | CXL2-3LW | AP-5AC-90-HD | AP-5AC-90-HD |
| | Konfiguracja | 1 x 1 | 1 x 1 | 1 x 1 | 1 x 3 |
| Moc promieniowania (ERP) | Brak danych | Brak danych | Brak danych | Brak danych | |
| Charakterystyka promieniowania | Dookólna | Dookólna | Kierunkowa | Kierunkowa | |
| Azymut [°] | - | - | 122 | 135;225;315 | |
| Producent | - | - | - | Ubiquiti Networks | |
| Urządzenie Obciążenie (antena) | Nr źródła | 96 | 97 | | |
| | Użytkownik | T-Mobile Polska S.A. | T-Mobile Polska S.A. | | |
| | Typ nadajnika | Linia radiowa | Linia radiowa | | |
| | Częstotliwość znamionowa | Brak danych | Brak danych | | |
| | Moc wyjściowa rzeczywista | Brak danych | Brak danych | | |
| | Wysokość zainstalowania [m n.p.t.] | 207,5 | 210,0 | | |
| | Typ anteny | VHLP1-38 | VHLP1-38 | | |
| | Konfiguracja | 1 x 1 | 1 x 1 | | |
| | Moc promieniowania (ERP) | Brak danych | Brak danych | | |
| | Charakterystyka promieniowania | Kierunkowa | Kierunkowa | | |
| | Azymut [°] | 197 | 228 | | |
| Producent | Andrew Corp. | Andrew Corp. | | | |

W załączonej tabeli podano maksymalne parametry pracy tej instalacji deklarowane przez prowadzącego instalację. Podczas pomiarów urządzenia użytkownika pracowały przy aktualnie występującym obciążeniu oraz podczas badania anteny użytkownika o sterowanych wiązkach zostały ustawione w sposób umożliwiający spełnienie wymagań pkt. 13 ppkt. 2 RMK.

Badania pól elektromagnetycznych z użyciem selektywnego miernika potwierdzają, że źródłem pól elektromagnetycznych o charakterze dominującym wokół Radiowo Telewizyjnych Centrów Nadawczych są pola pochodzące od anten UKF, DVB-T, DAB. Anteny te pracują ze stałą mocą EiRP, w związku z czym przy sprawdzaniu dotrzymania dopuszczalnych poziomów pól elektromagnetycznych w środowisku uwzględnia się poprawkę pomiarową o wartości 1,0

Ze względu na fakt, że pomiary wykonywane są przy użyciu miernika szerokopasmowego, wartość poprawki pomiarowej nie odnosi się oddzielnie ani do poszczególnych systemów i zakresów częstotliwości, ani do obecności innych instalacji emitujących pole – EM w sąsiedztwie lecz uwzględnia wszystkie te czynniki łącznie.

Jako dopuszczalne poziomy gęstości pola elektromagnetycznego przyjmuje się wartość 2W/m^2 , co odpowiada natężeniu składowej elektrycznej pola elektromagnetycznego o wartości 28 V/m – tj. minimalnej wartości dopuszczalnej dla zakresu częstotliwości od 10 MHz do 300 GHz.

6. Wyniki badań i szkic sytuacyjny

Tabela nr 5

| Data wykonania badania w terenie | Godzina | | Opady | Temperatura [°C] | | Wilgotność [%] | |
|----------------------------------|---------------------|---------------------|-------|------------------|------------|----------------|------------|
| | Rozpoczęcia badania | Zakończenia badania | | Minimalna | Maksymalna | Minimalna | Maksymalna |
| 03.06.2022 | 08:00 | 12:00 | Brak | 16,1 | 18,5 | 54 | 60 |

Temperatura i wilgotność względna nie wyższa niż dopuszczalna specyfikacją miernika.

Tabela nr 6

| Nr pionu/ punktu | Lokalizacja pionu / punktu pomiarowego | | | Wartości obliczane zgodnie z wymaganiami załącznika do RMK z 18.02.2020 r. (Dz. U. 2020, poz. 258) | | | | | | |
|---------------------|--|-----------------|---|--|-------------------|------------------------------|------------------------------------|---|---------------------------|---|
| | LAT | LON | Opis | Wysokość pomiaru | Wartość zmierzona | Wynik badania z niepewnością | Wynik pomiaru pola-E ¹⁾ | Wskaźnik poziomu emisji WM _E | Wartość wyznaczona pola-H | Wskaźnik poziomu emisji WM _H |
| | | | | [m] | [V/m] | [V/m] | [V/m] | | [A/m] | |
| 1 | 2 | 3 | 4 | 5 | 6 | 7 | 8 | 9 | 10 | 11 |
| 1.1 | 54.45347 | 18.43625 | GKP; na azymucie 12° 1 m od ogrodzenia | 2,0 | 1,2 | 1,6 | 1,6 | 0,06 | 0,004 | 0,06 |
| 1.2 | 54.45364 | 18.43603 | GKP; na azymucie 12° | 2,0 | 1,1 | 1,5 | 1,5 | 0,05 | 0,004 | 0,05 |
| 1.3 | 54.45361 | 18.43625 | GKP; na azymucie 12° | 2,0 | 1,1 | 1,5 | 1,5 | 0,05 | 0,004 | 0,05 |
| 1.4 | 54.45389 | 18.43639 | GKP; na azymucie 12° | 2,0 | 1,3 | 1,8 | 1,8 | 0,06 | 0,005 | 0,06 |
| 1.5 | 54.45403 | 18.43639 | GKP; na azymucie 12° | 2,0 | 1,2 | 1,6 | 1,6 | 0,06 | 0,004 | 0,06 |
| 1.6 | 54.45417 | 18.43653 | GKP; na azymucie 12° | 2,0 | 1,1 | 1,5 | 1,5 | 0,05 | 0,004 | 0,05 |
| 1.7 | 54.45431 | 18.43653 | GKP; na azymucie 12° | 2,0 | 1,0 | 1,4 | 1,4 | 0,05 | 0,004 | 0,05 |
| 1.8 | 54.45453 | 18.43636 | GKP; na azymucie 12° | 2,0 | 1,2 | 1,6 | 1,6 | 0,06 | 0,004 | 0,06 |
| 1.9 | 54.45489 | 18.43647 | GKP; na azymucie 12° | 2,0 | 1,2 | 1,6 | 1,6 | 0,06 | 0,004 | 0,06 |
| 1.10 | 54.45486 | 18.4368 | GKP; na azymucie 12° | 2,0 | 1,3 | 1,8 | 1,8 | 0,06 | 0,005 | 0,06 |
| 1.11 | 54.45514 | 18.4368 | GKP; na azymucie 12° | 2,0 | 1,3 | 1,8 | 1,8 | 0,06 | 0,005 | 0,06 |
| 1.12 | 54.45528 | 18.43694 | GKP; na azymucie 12° | 2,0 | 1,4 | 1,9 | 1,9 | 0,07 | 0,005 | 0,07 |
| 1.13 | 54.45542 | 18.43694 | GKP; na azymucie 12° | 2,0 | 1,3 | 1,8 | 1,8 | 0,06 | 0,005 | 0,06 |
| 1.14 | 54.45555 | 18.43708 | GKP; na azymucie 12° | 2,0 | 1,4 | 1,9 | 1,9 | 0,07 | 0,005 | 0,07 |
| 1.15 | 54.45583 | 18.43708 | GKP; na azymucie 12° | 2,0 | 1,6 | 2,2 | 2,2 | 0,08 | 0,006 | 0,08 |
| 1.16 | 54.45597 | 18.43708 | GKP; na azymucie 12° | 2,0 | 1,6 | 2,2 | 2,2 | 0,08 | 0,006 | 0,08 |
| 1.17 | 54.45611 | 18.43722 | GKP; na azymucie 12° | 2,0 | 1,5 | 2,0 | 2,0 | 0,07 | 0,005 | 0,07 |
| 1.18 | 54.45625 | 18.43722 | GKP; na azymucie 12° | 2,0 | 1,5 | 2,0 | 2,0 | 0,07 | 0,005 | 0,07 |
| 1.19 | 54.45653 | 18.43736 | GKP; na azymucie 12° | 2,0 | 1,4 | 1,9 | 1,9 | 0,07 | 0,005 | 0,07 |
| 1.20 | 54.45667 | 18.43736 | GKP; na azymucie 12° | 2,0 | 1,3 | 1,8 | 1,8 | 0,06 | 0,005 | 0,06 |
| 1.21 | 54.45681 | 18.4375 | GKP; na azymucie 12° | 2,0 | 1,2 | 1,6 | 1,6 | 0,06 | 0,004 | 0,06 |

¹⁾ Za wynik pomiaru przyjmuje się wartość wyznaczoną jako iloczyn maksymalnej chwilowej wartości zmierzonej i poprawki pomiarowej, powiększoną o rozszerzoną niepewność pomiaru U dla współczynnika rozszerzenia k=2

Objaśnienia:

GKP – Główny Kierunek Pomiarowy

Tabela nr 6 c.d.

| Lokalizacja pionu / punktu pomiarowego | | | | Wartości obliczane zgodnie z wymaganiami załącznika do RMK z 18.02.2020 r. (Dz. U. 2020, poz. 258) | | | | | | |
|--|-----------------|-----------------|--|--|-------------------|------------------------------|------------------------------------|---|---------------------------|---|
| Nr pionu/ punktu | LAT | LON | Opis | Wysokość pomiaru | Wartość zmierzona | Wynik badania z niepewnością | Wynik pomiaru pola-E ¹⁾ | Wskaźnik poziomu emisji WM _E | Wartość wyznaczona pola-H | Wskaźnik poziomu emisji WM _H |
| | | | | [m] | [V/m] | [V/m] | [V/m] | | [A/m] | |
| 1 | 2 | 3 | 4 | 5 | 6 | 7 | 8 | 9 | 10 | 11 |
| 1.22 | 54.45694 | 18.4375 | GKP; na azymucie 12° | 2,0 | 1,3 | 1,8 | 1,8 | 0,06 | 0,005 | 0,06 |
| 1.23 | 54.45722 | 18.43764 | GKP; na azymucie 12° | 2,0 | 1,1 | 1,5 | 1,5 | 0,05 | 0,004 | 0,05 |
| 1.24 | 54.45736 | 18.43764 | GKP; na azymucie 12° | 2,0 | 1,2 | 1,6 | 1,6 | 0,06 | 0,004 | 0,06 |
| 1.25 | 54.4575 | 18.43778 | GKP; na azymucie 12° | 2,0 | 1,1 | 1,5 | 1,5 | 0,05 | 0,004 | 0,05 |
| 1.26 | 54.45778 | 18.43778 | GKP; na azymucie 12° | 2,0 | 1,0 | 1,4 | 1,4 | 0,05 | 0,004 | 0,05 |
| 1.27 | 54.45792 | 18.43792 | GKP; na azymucie 12° | 2,0 | 1,0 | 1,4 | 1,4 | 0,05 | 0,004 | 0,05 |
| 1.28 | 54.45806 | 18.43792 | GKP; na azymucie 12° | 2,0 | 0,9 ^{N)} | 1,4 | 1,4 | 0,05 | 0,004 | 0,05 |
| 1.29 | 54.45819 | 18.43792 | GKP; na azymucie 12° | 2,0 | 0,9 ^{N)} | 1,4 | 1,4 | 0,05 | 0,004 | 0,05 |
| 1.30 | 54.45847 | 18.43806 | GKP; na azymucie 12° | 2,0 | 0,8 ^{N)} | 1,4 | 1,4 | 0,05 | 0,004 | 0,05 |
| 1.31 | 54.45861 | 18.43806 | GKP; na azymucie 12° | 2,0 | 0,9 ^{N)} | 1,4 | 1,4 | 0,05 | 0,004 | 0,05 |
| 1.32 | 54.45875 | 18.43819 | GKP; na azymucie 12° | 2,0 | 0,8 ^{N)} | 1,4 | 1,4 | 0,05 | 0,004 | 0,05 |
| 1.33 | 54.45889 | 18.43819 | GKP; na azymucie 12° | 2,0 | 0,9 ^{N)} | 1,4 | 1,4 | 0,05 | 0,004 | 0,05 |
| 1.34 | 54.45917 | 18.43833 | GKP; na azymucie 12° | 2,0 | 0,9 ^{N)} | 1,4 | 1,4 | 0,05 | 0,004 | 0,05 |
| 1.35 | 54.4593 | 18.43833 | GKP; na azymucie 12° | 2,0 | 0,8 ^{N)} | 1,4 | 1,4 | 0,05 | 0,004 | 0,05 |
| 1.36 | 54.45945 | 18.43847 | GKP; na azymucie 12° | 2,0 | 0,8 ^{N)} | 1,4 | 1,4 | 0,05 | 0,004 | 0,05 |
| 2.1 | 54.45347 | 18.43639 | GKP; na azymucie 20° - 1 m od ogrodzenia | 2,0 | 1,3 | 1,8 | 1,8 | 0,06 | 0,005 | 0,06 |
| 2.2 | 54.45356 | 18.43611 | GKP; na azymucie 20° | 2,0 | 1,3 | 1,8 | 1,8 | 0,06 | 0,005 | 0,06 |
| 2.3 | 54.45361 | 18.43653 | GKP; na azymucie 20° | 2,0 | 1,4 | 1,9 | 1,9 | 0,07 | 0,005 | 0,07 |
| 2.4 | 54.45375 | 18.43667 | GKP; na azymucie 20° | 2,0 | 1,4 | 1,9 | 1,9 | 0,07 | 0,005 | 0,07 |
| 2.5 | 54.45403 | 18.43667 | GKP; na azymucie 20° | 2,0 | 1,5 | 2,0 | 2,0 | 0,07 | 0,005 | 0,07 |
| 2.6 | 54.45417 | 18.4368 | GKP; na azymucie 20° | 2,0 | 1,5 | 2,0 | 2,0 | 0,07 | 0,005 | 0,07 |
| 2.7 | 54.45431 | 18.43694 | GKP; na azymucie 20° | 2,0 | 1,4 | 1,9 | 1,9 | 0,07 | 0,005 | 0,07 |
| 2.8 | 54.45444 | 18.43708 | GKP; na azymucie 20° | 2,0 | 1,5 | 2,0 | 2,0 | 0,07 | 0,005 | 0,07 |
| 2.9 | 54.45458 | 18.43722 | GKP; na azymucie 20° | 2,0 | 1,5 | 2,0 | 2,0 | 0,07 | 0,005 | 0,07 |
| 2.10 | 54.45486 | 18.43722 | GKP; na azymucie 20° | 2,0 | 1,6 | 2,2 | 2,2 | 0,08 | 0,006 | 0,08 |
| 2.11 | 54.45528 | 18.43764 | GKP; na azymucie 20° | 2,0 | 1,6 | 2,2 | 2,2 | 0,08 | 0,006 | 0,08 |

¹⁾ Za wynik pomiaru przyjmuje się wartość wyznaczoną jako iloczyn maksymalnej chwilowej wartości zmierzonej i poprawki pomiarowej, powiększoną o rozszerzoną niepewność pomiaru U dla współczynnika rozszerzenia k=2

^{N)} Wartość zmierzona spoza zakresu akredytacji. Do uzyskania wyniku badania interpoluje się wartość zmierzona do wartości dolnej granicy zakresu pomiarowego metody. Wartość tą wykorzystuje się do wyliczenia wyniku pomiaru i do stwierdzenia zgodności.

Objaśnienia:

GKP – Główny Kierunek Pomiarowy

Tabela nr 6 c.d.

| Nr pionu/ punktu | Lokalizacja pionu / punktu pomiarowego | | | Wartości obliczane zgodnie z wymaganiami załącznika do RMK z 18.02.2020 r. (Dz. U. 2020, poz. 258) | | | | | | |
|---------------------|--|-----------------|--|--|-------------------|------------------------------|------------------------------------|---|---------------------------|---|
| | LAT | LON | Opis | Wysokość pomiaru | Wartość zmierzona | Wynik badania z niepewnością | Wynik pomiaru pola-E ¹⁾ | Wskaźnik poziomu emisji WM _E | Wartość wyznaczona pola-H | Wskaźnik poziomu emisji WM _H |
| | | | | [m] | [V/m] | [V/m] | [V/m] | | [A/m] | |
| 1 | 2 | 3 | 4 | 5 | 6 | 7 | 8 | 9 | 10 | 11 |
| 2.12 | 54.45547 | 18.43733 | GKP; na azymucie 20° | 2,0 | 1,7 | 2,3 | 2,3 | 0,08 | 0,006 | 0,08 |
| 2.13 | 54.4557 | 18.43778 | GKP; na azymucie 20° | 2,0 | 1,6 | 2,2 | 2,2 | 0,08 | 0,006 | 0,08 |
| 2.14 | 54.45583 | 18.43792 | GKP; na azymucie 20° | 2,0 | 1,6 | 2,2 | 2,2 | 0,08 | 0,006 | 0,08 |
| 2.15 | 54.45597 | 18.43806 | GKP; na azymucie 20° | 2,0 | 1,6 | 2,2 | 2,2 | 0,08 | 0,006 | 0,08 |
| 2.16 | 54.45611 | 18.43806 | GKP; na azymucie 20° | 2,0 | 1,5 | 2,0 | 2,0 | 0,07 | 0,005 | 0,07 |
| 2.17 | 54.45639 | 18.43819 | GKP; na azymucie 20° | 2,0 | 1,6 | 2,2 | 2,2 | 0,08 | 0,006 | 0,08 |
| 2.18 | 54.45653 | 18.43833 | GKP; na azymucie 20° | 2,0 | 1,5 | 2,0 | 2,0 | 0,07 | 0,005 | 0,07 |
| 2.19 | 54.45681 | 18.43847 | GKP; na azymucie 20° | 2,0 | 1,4 | 1,9 | 1,9 | 0,07 | 0,005 | 0,07 |
| 2.20 | 54.45708 | 18.43861 | GKP; na azymucie 20° | 2,0 | 1,5 | 2,0 | 2,0 | 0,07 | 0,005 | 0,07 |
| 2.21 | 54.45722 | 18.43875 | GKP; na azymucie 20° | 2,0 | 1,4 | 1,9 | 1,9 | 0,07 | 0,005 | 0,07 |
| 2.22 | 54.45736 | 18.43889 | GKP; na azymucie 20° | 2,0 | 1,4 | 1,9 | 1,9 | 0,07 | 0,005 | 0,07 |
| 2.23 | 54.4575 | 18.43889 | GKP; na azymucie 20° | 2,0 | 1,3 | 1,8 | 1,8 | 0,06 | 0,005 | 0,06 |
| 2.24 | 54.45764 | 18.43903 | GKP; na azymucie 20° | 2,0 | 1,2 | 1,6 | 1,6 | 0,06 | 0,004 | 0,06 |
| 2.25 | 54.45792 | 18.43917 | GKP; na azymucie 20° | 2,0 | 1,1 | 1,5 | 1,5 | 0,05 | 0,004 | 0,05 |
| 2.26 | 54.45806 | 18.4393 | GKP; na azymucie 20° | 2,0 | 1,0 | 1,4 | 1,4 | 0,05 | 0,004 | 0,05 |
| 2.27 | 54.45819 | 18.43944 | GKP; na azymucie 20° | 2,0 | 1,0 | 1,4 | 1,4 | 0,05 | 0,004 | 0,05 |
| 2.28 | 54.45834 | 18.43944 | GKP; na azymucie 20° | 2,0 | 0,9 ^{N)} | 1,4 | 1,4 | 0,05 | 0,004 | 0,05 |
| 2.29 | 54.45847 | 18.43958 | GKP; na azymucie 20° | 2,0 | 0,9 ^{N)} | 1,4 | 1,4 | 0,05 | 0,004 | 0,05 |
| 2.30 | 54.45875 | 18.43972 | GKP; na azymucie 20° | 2,0 | 0,8 ^{N)} | 1,4 | 1,4 | 0,05 | 0,004 | 0,05 |
| 2.31 | 54.45889 | 18.43986 | GKP; na azymucie 20° | 2,0 | 0,8 ^{N)} | 1,4 | 1,4 | 0,05 | 0,004 | 0,05 |
| 2.32 | 54.45903 | 18.43986 | GKP; na azymucie 20° | 2,0 | 0,8 ^{N)} | 1,4 | 1,4 | 0,05 | 0,004 | 0,05 |
| 2.33 | 54.45917 | 18.44 | GKP; na azymucie 20° | 2,0 | 0,9 ^{N)} | 1,4 | 1,4 | 0,05 | 0,004 | 0,05 |
| 3.1 | 54.45319 | 18.43694 | GKP; na azymucie 55° - 1 m od ogrodzenia | 2,0 | 1,1 | 1,5 | 1,5 | 0,05 | 0,004 | 0,05 |
| 3.2 | 54.45319 | 18.43708 | GKP; na azymucie 55° | 2,0 | 1,2 | 1,6 | 1,6 | 0,06 | 0,004 | 0,06 |
| 3.3 | 54.45319 | 18.43722 | GKP; na azymucie 55° | 2,0 | 1,3 | 1,8 | 1,8 | 0,06 | 0,005 | 0,06 |

¹⁾ Za wynik pomiaru przyjmuje się wartość wyznaczoną jako iloczyn maksymalnej chwilowej wartości zmierzonej i poprawki pomiarowej, powiększoną o rozszerzoną niepewność pomiaru U dla współczynnika rozszerzenia k=2

^{N)} Wartość zmierzona spoza zakresu akredytacji. Do uzyskania wyniku badania interpoluje się wartość zmierzoną do wartości dolnej granicy zakresu pomiarowego metody. Wartość tą wykorzystuje się do wyliczenia wyniku pomiaru i do stwierdzenia zgodności.

Objaśnienia:

GKP – Główny Kierunek Pomiarowy

Tabela nr 6 c.d.

| Lokalizacja pionu / punktu pomiarowego | | | | Wartości obliczane zgodnie z wymaganiami załącznika do RMK z 18.02.2020 r. (Dz. U. 2020, poz. 258) | | | | | | |
|--|-----------------|-----------------|-----------------------------|--|-------------------|------------------------------|------------------------------------|---|---------------------------|---|
| Nr pionu/ punktu | LAT | LON | Opis | Wysokość pomiaru | Wartość zmierzona | Wynik badania z niepewnością | Wynik pomiaru pola-E ¹⁾ | Wskaźnik poziomu emisji WM _E | Wartość wyznaczona pola-H | Wskaźnik poziomu emisji WM _H |
| | | | | [m] | [V/m] | [V/m] | [V/m] | | [A/m] | |
| 1 | 2 | 3 | 4 | 5 | 6 | 7 | 8 | 9 | 10 | 11 |
| 3.4 | 54.45333 | 18.4375 | GKP; na azymucie 55° | 2,0 | 1,2 | 1,6 | 1,6 | 0,06 | 0,004 | 0,06 |
| 3.5 | 54.45342 | 18.43761 | GKP; na azymucie 55° | 2,0 | 1,3 | 1,8 | 1,8 | 0,06 | 0,005 | 0,06 |
| 3.6 | 54.45353 | 18.43786 | GKP; na azymucie 55° | 2,0 | 1,3 | 1,8 | 1,8 | 0,06 | 0,005 | 0,06 |
| 3.7 | 54.45361 | 18.43819 | GKP; na azymucie 55° | 2,0 | 1,4 | 1,9 | 1,9 | 0,07 | 0,005 | 0,07 |
| 3.8 | 54.45375 | 18.43847 | GKP; na azymucie 55° | 2,0 | 1,5 | 2,0 | 2,0 | 0,07 | 0,005 | 0,07 |
| 3.9 | 54.45389 | 18.43875 | GKP; na azymucie 55° | 2,0 | 1,4 | 1,9 | 1,9 | 0,07 | 0,005 | 0,07 |
| 3.10 | 54.45403 | 18.43903 | GKP; na azymucie 55° | 2,0 | 1,5 | 2,0 | 2,0 | 0,07 | 0,005 | 0,07 |
| 3.11 | 54.45403 | 18.4393 | GKP; na azymucie 55° | 2,0 | 1,8 | 2,4 | 2,4 | 0,09 | 0,006 | 0,09 |
| 3.12 | 54.45417 | 18.43944 | GKP; na azymucie 55° | 2,0 | 1,9 | 2,6 | 2,6 | 0,09 | 0,007 | 0,09 |
| 3.13 | 54.45430 | 18.43969 | GKP; na azymucie 55° | 2,0 | 1,9 | 2,6 | 2,6 | 0,09 | 0,007 | 0,09 |
| 3.14 | 54.45442 | 18.43994 | GKP; na azymucie 55° | 2,0 | 2,1 | 2,8 | 2,8 | 0,10 | 0,008 | 0,10 |
| 3.15 | 54.45453 | 18.44019 | GKP; na azymucie 55° | 2,0 | 2,1 | 2,8 | 2,8 | 0,10 | 0,008 | 0,10 |
| 3.16 | 54.45458 | 18.44056 | GKP; na azymucie 55° | 2,0 | 2,0 | 2,7 | 2,7 | 0,10 | 0,007 | 0,10 |
| 3.17 | 54.45472 | 18.44083 | GKP; na azymucie 55° | 2,0 | 2,0 | 2,7 | 2,7 | 0,10 | 0,007 | 0,10 |
| 3.18 | 54.45486 | 18.44097 | GKP; na azymucie 55° | 2,0 | 1,9 | 2,6 | 2,6 | 0,09 | 0,007 | 0,09 |
| 3.19 | 54.45486 | 18.44125 | GKP; na azymucie 55° | 2,0 | 2,0 | 2,7 | 2,7 | 0,10 | 0,007 | 0,10 |
| 3.20 | 54.455 | 18.44153 | GKP; na azymucie 55° | 2,0 | 1,8 | 2,4 | 2,4 | 0,09 | 0,006 | 0,09 |
| 3.21 | 54.45514 | 18.4418 | GKP; na azymucie 55° | 2,0 | 1,6 | 2,2 | 2,2 | 0,08 | 0,006 | 0,08 |
| 3.22 | 54.45528 | 18.44208 | GKP; na azymucie 55° | 2,0 | 1,4 | 1,9 | 1,9 | 0,07 | 0,005 | 0,07 |
| 3.23 | 54.45528 | 18.44222 | GKP; na azymucie 55° | 2,0 | 1,3 | 1,8 | 1,8 | 0,06 | 0,005 | 0,06 |
| 3.24 | 54.45542 | 18.4425 | GKP; na azymucie 55° | 2,0 | 1,3 | 1,8 | 1,8 | 0,06 | 0,005 | 0,06 |
| 3.25 | 54.45555 | 18.44278 | GKP; na azymucie 55° | 2,0 | 1,2 | 1,6 | 1,6 | 0,06 | 0,004 | 0,06 |
| 3.26 | 54.4557 | 18.44305 | GKP; na azymucie 55° | 2,0 | 1,2 | 1,6 | 1,6 | 0,06 | 0,004 | 0,06 |
| 3.27 | 54.4557 | 18.44333 | GKP; na azymucie 55° | 2,0 | 1,1 | 1,5 | 1,5 | 0,05 | 0,004 | 0,05 |
| 3.28 | 54.45583 | 18.44361 | GKP; na azymucie 55° | 2,0 | 1,0 | 1,4 | 1,4 | 0,05 | 0,004 | 0,05 |
| 3.29 | 54.45597 | 18.44375 | GKP; na azymucie 55° | 2,0 | 1,0 | 1,4 | 1,4 | 0,05 | 0,004 | 0,05 |

¹⁾ Za wynik pomiaru przyjmuje się wartość wyznaczoną jako iloczyn maksymalnej chwilowej wartości zmierzonej i poprawki pomiarowej, powiększoną o rozszerzoną niepewność pomiaru U dla współczynnika rozszerzenia k=2

Objaśnienia:

GKP – Główny Kierunek Pomiarowy

Tabela nr 6 c.d.

| Lokalizacja pionu / punktu pomiarowego | | | | Wartości obliczane zgodnie z wymaganiami załącznika do RMK z 18.02.2020 r. (Dz. U. 2020, poz. 258) | | | | | | |
|--|----------|----------|--|--|-------------------|------------------------------|------------------------------------|---|---------------------------|---|
| Nr pionu/ punktu | LAT | LON | Opis | Wysokość pomiaru | Wartość zmierzona | Wynik badania z niepewnością | Wynik pomiaru pola-E ¹⁾ | Wskaźnik poziomu emisji WM _E | Wartość wyznaczona pola-H | Wskaźnik poziomu emisji WM _H |
| | | | | [m] | [V/m] | [V/m] | [V/m] | | [A/m] | |
| 1 | 2 | 3 | 4 | 5 | 6 | 7 | 8 | 9 | 10 | 11 |
| 3.30 | 54.45611 | 18.44403 | GKP; na azymucie 55° | 2,0 | 0,9 ^{N)} | 1,4 | 1,4 | 0,05 | 0,004 | 0,05 |
| 3.31 | 54.45625 | 18.44458 | GKP; na azymucie 55° | 2,0 | 0,9 ^{N)} | 1,4 | 1,4 | 0,05 | 0,004 | 0,05 |
| 3.32 | 54.45639 | 18.44500 | GKP; na azymucie 55° | 2,0 | 0,8 ^{N)} | 1,4 | 1,4 | 0,05 | 0,004 | 0,05 |
| 3.33 | 54.45667 | 18.44555 | GKP; na azymucie 55° | 2,0 | 0,9 ^{N)} | 1,4 | 1,4 | 0,05 | 0,004 | 0,05 |
| 3.34 | 54.45667 | 18.44569 | GKP; na azymucie 55° | 2,0 | 0,8 ^{N)} | 1,4 | 1,4 | 0,05 | 0,004 | 0,05 |
| 4.1 | 54.45278 | 18.43736 | PKP; na azymucie 85°-1 m od ogrodzenia | 2,0 | 1,3 | 1,8 | 1,8 | 0,06 | 0,005 | 0,06 |
| 4.2 | 54.45278 | 18.43764 | PKP; na azymucie 85° | 2,0 | 1,2 | 1,6 | 1,6 | 0,06 | 0,004 | 0,06 |
| 4.3 | 54.45292 | 18.43792 | PKP; na azymucie 85° | 2,0 | 1,1 | 1,5 | 1,5 | 0,05 | 0,004 | 0,05 |
| 4.4 | 54.45292 | 18.43833 | PKP; na azymucie 85° | 2,0 | 1,2 | 1,6 | 1,6 | 0,06 | 0,004 | 0,06 |
| 4.5 | 54.45292 | 18.43861 | PKP; na azymucie 85° | 2,0 | 1,3 | 1,8 | 1,8 | 0,06 | 0,005 | 0,06 |
| 4.6 | 54.45292 | 18.43889 | PKP; na azymucie 85° | 2,0 | 1,2 | 1,6 | 1,6 | 0,06 | 0,004 | 0,06 |
| 4.7 | 54.45292 | 18.43917 | PKP; na azymucie 85° | 2,0 | 1,2 | 1,6 | 1,6 | 0,06 | 0,004 | 0,06 |
| 4.8 | 54.45292 | 18.43958 | PKP; na azymucie 85° | 2,0 | 1,3 | 1,8 | 1,8 | 0,06 | 0,005 | 0,06 |
| 4.9 | 54.45292 | 18.43986 | PKP; na azymucie 85° | 2,0 | 1,4 | 1,9 | 1,9 | 0,07 | 0,005 | 0,07 |
| 4.10 | 54.45292 | 18.44014 | PKP; na azymucie 85° | 2,0 | 1,3 | 1,8 | 1,8 | 0,06 | 0,005 | 0,06 |
| 4.11 | 54.45292 | 18.44042 | PKP; na azymucie 85° | 2,0 | 1,4 | 1,9 | 1,9 | 0,07 | 0,005 | 0,07 |
| 4.12 | 54.45306 | 18.44069 | PKP; na azymucie 85° | 2,0 | 1,5 | 2,0 | 2,0 | 0,07 | 0,005 | 0,07 |
| 4.13 | 54.45306 | 18.44111 | PKP; na azymucie 85° | 2,0 | 1,5 | 2,0 | 2,0 | 0,07 | 0,005 | 0,07 |
| 4.14 | 54.45306 | 18.44139 | PKP; na azymucie 85° | 2,0 | 1,6 | 2,2 | 2,2 | 0,08 | 0,006 | 0,08 |
| 4.15 | 54.45306 | 18.44167 | PKP; na azymucie 85° | 2,0 | 1,6 | 2,2 | 2,2 | 0,08 | 0,006 | 0,08 |
| 4.16 | 54.45306 | 18.44194 | PKP; na azymucie 85° | 2,0 | 1,7 | 2,3 | 2,3 | 0,08 | 0,006 | 0,08 |
| 4.17 | 54.45306 | 18.44236 | PKP; na azymucie 85° | 2,0 | 1,1 | 1,5 | 1,5 | 0,05 | 0,004 | 0,05 |

¹⁾ Za wynik pomiaru przyjmuje się wartość wyznaczoną jako iloczyn maksymalnej chwilowej wartości zmierzonej i poprawki pomiarowej, powiększoną o rozszerzoną niepewność pomiaru U dla współczynnika rozszerzenia k=2

^{N)} Wartość zmierzona spoza zakresu akredytacji. Do uzyskania wyniku badania interpoluje się wartość zmierzoną do wartości dolnej granicy zakresu pomiarowego metody. Wartość tą wykorzystuje się do wyliczenia wyniku pomiaru i do stwierdzenia zgodności.

Objaśnienia:

GKP – Główny Kierunek Pomiarowy

PKP – Pomocniczy Kierunek Pomiarowy

Tabela nr 6 c.d.

| Lokalizacja pionu / punktu pomiarowego | | | | Wartości obliczane zgodnie z wymaganiami załącznika do RMK z 18.02.2020 r. (Dz. U. 2020, poz. 258) | | | | | | |
|--|-----------------|-----------------|--|--|-------------------|------------------------------|------------------------------------|---|---------------------------|---|
| Nr pionu/ punktu | LAT | LON | Opis | Wysokość pomiaru | Wartość zmierzona | Wynik badania z niepewnością | Wynik pomiaru pola-E ¹⁾ | Wskaźnik poziomu emisji WM _E | Wartość wyznaczona pola-H | Wskaźnik poziomu emisji WM _H |
| | | | | [m] | [V/m] | [V/m] | [V/m] | | [A/m] | |
| 1 | 2 | 3 | 4 | 5 | 6 | 7 | 8 | 9 | 10 | 11 |
| 4.18 | 54.45319 | 18.44569 | PKP; na azymucie 85° | 2,0 | 1,0 | 1,4 | 1,4 | 0,05 | 0,004 | 0,05 |
| 4.19 | 54.45319 | 18.44597 | PKP; na azymucie 85° | 2,0 | 1,0 | 1,4 | 1,4 | 0,05 | 0,004 | 0,05 |
| 4.20 | 54.45333 | 18.44625 | PKP; na azymucie 85° | 2,0 | 1,1 | 1,5 | 1,5 | 0,05 | 0,004 | 0,05 |
| 4.21 | 54.45333 | 18.44667 | PKP; na azymucie 85° | 2,0 | 0,9 ^{N)} | 1,4 | 1,4 | 0,05 | 0,004 | 0,05 |
| 4.22 | 54.45333 | 18.44694 | PKP; na azymucie 85° | 2,0 | 1,0 | 1,4 | 1,4 | 0,05 | 0,004 | 0,05 |
| 4.23 | 54.45333 | 18.44722 | PKP; na azymucie 85° | 2,0 | 0,9 ^{N)} | 1,4 | 1,4 | 0,05 | 0,004 | 0,05 |
| 4.24 | 54.45333 | 18.4475 | PKP; na azymucie 85° | 2,0 | 0,8 ^{N)} | 1,4 | 1,4 | 0,05 | 0,004 | 0,05 |
| 4.25 | 54.45333 | 18.44778 | PKP; na azymucie 85° | 2,0 | 0,8 ^{N)} | 1,4 | 1,4 | 0,05 | 0,004 | 0,05 |
| 5.1 | 54.45278 | 18.43736 | GKP; na azymucie 93° - 1 m od ogrodzenia | 2,0 | 1,3 | 1,8 | 1,8 | 0,06 | 0,005 | 0,06 |
| 5.2 | 54.45264 | 18.4375 | GKP; na azymucie 93° | 2,0 | 1,3 | 1,8 | 1,8 | 0,06 | 0,005 | 0,06 |
| 5.3 | 54.45264 | 18.43792 | GKP; na azymucie 93° | 2,0 | 1,2 | 1,6 | 1,6 | 0,06 | 0,004 | 0,06 |
| 5.4 | 54.45264 | 18.43819 | GKP; na azymucie 93° | 2,0 | 1,1 | 1,5 | 1,5 | 0,05 | 0,004 | 0,05 |
| 5.5 | 54.45267 | 18.43856 | GKP; na azymucie 93° | 2,0 | 1,2 | 1,6 | 1,6 | 0,06 | 0,004 | 0,06 |
| 5.6 | 54.45267 | 18.43889 | GKP; na azymucie 93° | 2,0 | 1,3 | 1,8 | 1,8 | 0,06 | 0,005 | 0,06 |
| 5.7 | 54.45264 | 18.43917 | GKP; na azymucie 93° | 2,0 | 1,4 | 1,9 | 1,9 | 0,07 | 0,005 | 0,07 |
| 5.8 | 54.45264 | 18.43922 | GKP; na azymucie 93° | 2,0 | 1,3 | 1,8 | 1,8 | 0,06 | 0,005 | 0,06 |
| 5.9 | 54.45264 | 18.43972 | GKP; na azymucie 93° | 2,0 | 1,4 | 1,9 | 1,9 | 0,07 | 0,005 | 0,07 |
| 5.10 | 54.45264 | 18.44 | GKP; na azymucie 93° | 2,0 | 1,4 | 1,9 | 1,9 | 0,07 | 0,005 | 0,07 |
| 5.11 | 54.45264 | 18.44028 | GKP; na azymucie 93° | 2,0 | 1,5 | 2,0 | 2,0 | 0,07 | 0,005 | 0,07 |
| 5.12 | 54.45264 | 18.44069 | GKP; na azymucie 93° | 2,0 | 1,6 | 2,2 | 2,2 | 0,08 | 0,006 | 0,08 |
| 5.13 | 54.45264 | 18.44097 | GKP; na azymucie 93° | 2,0 | 1,6 | 2,2 | 2,2 | 0,08 | 0,006 | 0,08 |
| 5.14 | 54.45264 | 18.44125 | GKP; na azymucie 93° | 2,0 | 1,7 | 2,3 | 2,3 | 0,08 | 0,006 | 0,08 |
| 5.15 | 54.4525 | 18.44431 | GKP; na azymucie 93° | 2,0 | 1,2 | 1,6 | 1,6 | 0,06 | 0,004 | 0,06 |
| 5.16 | 54.4525 | 18.44472 | GKP; na azymucie 93° | 2,0 | 1,1 | 1,5 | 1,5 | 0,05 | 0,004 | 0,05 |
| 5.17 | 54.4525 | 18.445 | GKP; na azymucie 93° | 2,0 | 1,1 | 1,5 | 1,5 | 0,05 | 0,004 | 0,05 |

¹⁾ Za wynik pomiaru przyjmuje się wartość wyznaczoną jako iloczyn maksymalnej chwilowej wartości zmierzonej i poprawki pomiarowej, powiększoną o rozszerzoną niepewność pomiaru U dla współczynnika rozszerzenia k=2

^{N)} Wartość zmierzona spoza zakresu akredytacji. Do uzyskania wyniku badania interpoluje się wartość zmierzona do wartości dolnej granicy zakresu pomiarowego metody. Wartość tą wykorzystuje się do wyliczenia wyniku pomiaru i do stwierdzenia zgodności.

Objaśnienia:

GKP – Główny Kierunek Pomiarowy

PKP – Pomocniczy Kierunek Pomiarowy

Tabela nr 6 c.d.

| Lokalizacja pionu / punktu pomiarowego | | | | Wartości obliczane zgodnie z wymaganiami załącznika do RMK z 18.02.2020 r. (Dz. U. 2020, poz. 258) | | | | | | |
|--|-----------------|-----------------|---|--|-------------------|------------------------------|------------------------------------|---|---------------------------|---|
| Nr pionu/ punktu | LAT | LON | Opis | Wysokość pomiaru | Wartość zmierzona | Wynik badania z niepewnością | Wynik pomiaru pola-E ¹⁾ | Wskaźnik poziomu emisji WM _E | Wartość wyznaczona pola-H | Wskaźnik poziomu emisji WM _H |
| | | | | [m] | [V/m] | [V/m] | [V/m] | | [A/m] | |
| 1 | 2 | 3 | 4 | 5 | 6 | 7 | 8 | 9 | 10 | 11 |
| 5.18 | 54.4525 | 18.44528 | GKP; na azymucie 93° | 2,0 | 1,0 | 1,4 | 1,4 | 0,05 | 0,004 | 0,05 |
| 5.19 | 54.4525 | 18.44555 | GKP; na azymucie 93° | 2,0 | 1,0 | 1,4 | 1,4 | 0,05 | 0,004 | 0,05 |
| 5.20 | 54.4525 | 18.44597 | GKP; na azymucie 93° | 2,0 | 0,9 ^{N)} | 1,4 | 1,4 | 0,05 | 0,004 | 0,05 |
| 5.21 | 54.4525 | 18.44625 | GKP; na azymucie 93° | 2,0 | 0,9 ^{N)} | 1,4 | 1,4 | 0,05 | 0,004 | 0,05 |
| 5.22 | 54.4525 | 18.44653 | GKP; na azymucie 93° | 2,0 | 0,8 ^{N)} | 1,4 | 1,4 | 0,05 | 0,004 | 0,05 |
| 5.23 | 54.45236 | 18.4468 | GKP; na azymucie 93° | 2,0 | 0,8 ^{N)} | 1,4 | 1,4 | 0,05 | 0,004 | 0,05 |
| 5.24 | 54.45236 | 18.44708 | GKP; na azymucie 93° | 2,0 | 0,9 ^{N)} | 1,4 | 1,4 | 0,05 | 0,004 | 0,05 |
| 5.25 | 54.45236 | 18.4475 | GKP; na azymucie 93° | 2,0 | 0,8 ^{N)} | 1,4 | 1,4 | 0,05 | 0,004 | 0,05 |
| 5.26 | 54.45236 | 18.44778 | GKP; na azymucie 93° | 2,0 | 0,8 ^{N)} | 1,4 | 1,4 | 0,05 | 0,004 | 0,05 |
| 6.1 | 54.45264 | 18.43722 | GKP; na azymucie 100°-1 m od ogrodzenia | 2,0 | 1,2 | 1,6 | 1,6 | 0,06 | 0,004 | 0,06 |
| 6.2 | 54.45264 | 18.4375 | GKP; na azymucie 100° | 2,0 | 1,3 | 1,8 | 1,8 | 0,06 | 0,005 | 0,06 |
| 6.3 | 54.4525 | 18.43806 | GKP; na azymucie 100° | 2,0 | 1,4 | 1,9 | 1,9 | 0,07 | 0,005 | 0,07 |
| 6.4 | 54.4525 | 18.43847 | GKP; na azymucie 100° | 2,0 | 1,3 | 1,8 | 1,8 | 0,06 | 0,005 | 0,06 |
| 6.5 | 54.4525 | 18.43875 | GKP; na azymucie 100° | 2,0 | 1,2 | 1,6 | 1,6 | 0,06 | 0,004 | 0,06 |
| 6.6 | 54.4525 | 18.43903 | GKP; na azymucie 100° | 2,0 | 1,1 | 1,5 | 1,5 | 0,05 | 0,004 | 0,05 |
| 6.7 | 54.45239 | 18.43908 | GKP; na azymucie 100° | 2,0 | 1,2 | 1,6 | 1,6 | 0,06 | 0,004 | 0,06 |
| 6.8 | 54.45236 | 18.4393 | GKP; na azymucie 100° | 2,0 | 1,2 | 1,6 | 1,6 | 0,06 | 0,004 | 0,06 |
| 6.9 | 54.45236 | 18.43958 | GKP; na azymucie 100° | 2,0 | 1,4 | 1,9 | 1,9 | 0,07 | 0,005 | 0,07 |
| 6.10 | 54.45236 | 18.44 | GKP; na azymucie 100° | 2,0 | 1,3 | 1,8 | 1,8 | 0,06 | 0,005 | 0,06 |
| 6.11 | 54.45236 | 18.44028 | GKP; na azymucie 100° | 2,0 | 1,4 | 1,9 | 1,9 | 0,07 | 0,005 | 0,07 |
| 6.12 | 54.45222 | 18.44056 | GKP; na azymucie 100° | 2,0 | 1,5 | 2,0 | 2,0 | 0,07 | 0,005 | 0,07 |
| 6.13 | 54.45195 | 18.44389 | GKP; na azymucie 100° | 2,0 | 1,1 | 1,5 | 1,5 | 0,05 | 0,004 | 0,05 |
| 6.14 | 54.45195 | 18.44417 | GKP; na azymucie 100° | 2,0 | 1,1 | 1,5 | 1,5 | 0,05 | 0,004 | 0,05 |
| 6.15 | 54.45195 | 18.44444 | GKP; na azymucie 100° | 2,0 | 1,0 | 1,4 | 1,4 | 0,05 | 0,004 | 0,05 |
| 6.16 | 54.45167 | 18.44597 | GKP; na azymucie 100° | 2,0 | 1,1 | 1,5 | 1,5 | 0,05 | 0,004 | 0,05 |

¹⁾ Za wynik pomiaru przyjmuje się wartość wyznaczoną jako iloczyn maksymalnej chwilowej wartości zmierzonej i poprawki pomiarowej, powiększoną o rozszerzoną niepewność pomiaru U dla współczynnika rozszerzenia k=2

^{N)} Wartość zmierzona spoza zakresu akredytacji. Do uzyskania wyniku badania interpoluje się wartość zmierzoną do wartości dolnej granicy zakresu pomiarowego metody. Wartość tą wykorzystuje się do wyliczenia wyniku pomiaru i do stwierdzenia zgodności.

Objaśnienia:

GKP – Główny Kierunek Pomiarowy

Tabela nr 6 c.d.

| Lokalizacja pionu / punktu pomiarowego | | | | Wartości obliczane zgodnie z wymaganiami załącznika do RMK z 18.02.2020 r. (Dz. U. 2020, poz. 258) | | | | | | |
|--|----------|----------|---|--|-------------------|------------------------------|------------------------------------|---|---------------------------|---|
| Nr pionu/ punktu | LAT | LON | Opis | Wysokość pomiaru | Wartość zmierzona | Wynik badania z niepewnością | Wynik pomiaru pola-E ¹⁾ | Wskaźnik poziomu emisji WM _E | Wartość wyznaczona pola-H | Wskaźnik poziomu emisji WM _H |
| | | | | [m] | [V/m] | [V/m] | [V/m] | | [A/m] | |
| 1 | 2 | 3 | 4 | 5 | 6 | 7 | 8 | 9 | 10 | 11 |
| 6.17 | 54.45167 | 18.44639 | GKP; na azymucie 100° | 2,0 | 1,0 | 1,4 | 1,4 | 0,05 | 0,004 | 0,05 |
| 6.18 | 54.45167 | 18.44667 | GKP; na azymucie 100° | 2,0 | 1,0 | 1,4 | 1,4 | 0,05 | 0,004 | 0,05 |
| 6.19 | 54.45167 | 18.44694 | GKP; na azymucie 100° | 2,0 | 0,9 ^{N)} | 1,4 | 1,4 | 0,05 | 0,004 | 0,05 |
| 6.20 | 54.45153 | 18.44722 | GKP; na azymucie 100° | 2,0 | 0,9 ^{N)} | 1,4 | 1,4 | 0,05 | 0,004 | 0,05 |
| 6.21 | 54.45153 | 18.4475 | GKP; na azymucie 100° | 2,0 | 0,8 ^{N)} | 1,4 | 1,4 | 0,05 | 0,004 | 0,05 |
| 6.22 | 54.45153 | 18.44764 | GKP; na azymucie 100° | 2,0 | 0,9 ^{N)} | 1,4 | 1,4 | 0,05 | 0,004 | 0,05 |
| 7.1 | 54.45222 | 18.43694 | PKP; na azymucie 130°-1 m od ogrodzenia | 2,0 | 1,4 | 1,9 | 1,9 | 0,07 | 0,005 | 0,07 |
| 7.2 | 54.45208 | 18.43722 | PKP; na azymucie 130° | 2,0 | 1,4 | 1,9 | 1,9 | 0,07 | 0,005 | 0,07 |
| 7.3 | 54.45208 | 18.4375 | PKP; na azymucie 130° | 2,0 | 1,5 | 2,0 | 2,0 | 0,07 | 0,005 | 0,07 |
| 7.4 | 54.45195 | 18.43764 | PKP; na azymucie 130° | 2,0 | 1,6 | 2,2 | 2,2 | 0,08 | 0,006 | 0,08 |
| 7.5 | 54.45181 | 18.43792 | PKP; na azymucie 130° | 2,0 | 1,5 | 2,0 | 2,0 | 0,07 | 0,005 | 0,07 |
| 7.6 | 54.45167 | 18.43819 | PKP; na azymucie 130° | 2,0 | 1,6 | 2,2 | 2,2 | 0,08 | 0,006 | 0,08 |
| 7.7 | 54.45153 | 18.43833 | PKP; na azymucie 130° | 2,0 | 1,6 | 2,2 | 2,2 | 0,08 | 0,006 | 0,08 |
| 7.8 | 54.45139 | 18.43861 | PKP; na azymucie 130° | 2,0 | 1,7 | 2,3 | 2,3 | 0,08 | 0,006 | 0,08 |
| 7.9 | 54.45139 | 18.43889 | PKP; na azymucie 130° | 2,0 | 2,1 | 2,8 | 2,8 | 0,10 | 0,008 | 0,10 |
| 7.10 | 54.45042 | 18.44083 | PKP; na azymucie 130° | 2,0 | 1,3 | 1,8 | 1,8 | 0,06 | 0,005 | 0,06 |
| 7.11 | 54.45028 | 18.44097 | PKP; na azymucie 130° | 2,0 | 1,3 | 1,8 | 1,8 | 0,06 | 0,005 | 0,06 |
| 7.12 | 54.45014 | 18.44125 | PKP; na azymucie 130° | 2,0 | 1,1 | 1,5 | 1,5 | 0,05 | 0,004 | 0,05 |
| 7.13 | 54.45 | 18.44153 | PKP; na azymucie 130° | 2,0 | 1,2 | 1,6 | 1,6 | 0,06 | 0,004 | 0,06 |
| 7.14 | 54.45 | 18.44167 | PKP; na azymucie 130° | 2,0 | 1,1 | 1,5 | 1,5 | 0,05 | 0,004 | 0,05 |
| 7.15 | 54.44986 | 18.44194 | PKP; na azymucie 130° | 2,0 | 1,0 | 1,4 | 1,4 | 0,05 | 0,004 | 0,05 |
| 7.16 | 54.44931 | 18.44291 | PKP; na azymucie 130° | 2,0 | 1,0 | 1,4 | 1,4 | 0,05 | 0,004 | 0,05 |
| 7.17 | 54.44931 | 18.44319 | PKP; na azymucie 130° | 2,0 | 0,9 ^{N)} | 1,4 | 1,4 | 0,05 | 0,004 | 0,05 |
| 7.18 | 54.44917 | 18.44333 | PKP; na azymucie 130° | 2,0 | 0,8 ^{N)} | 1,4 | 1,4 | 0,05 | 0,004 | 0,05 |

¹⁾ Za wynik pomiaru przyjmuje się wartość wyznaczoną jako iloczyn maksymalnej chwilowej wartości zmierzonej i poprawki pomiarowej, powiększoną o rozszerzoną niepewność pomiaru U dla współczynnika rozszerzenia k=2

^{N)} Wartość zmierzona spoza zakresu akredytacji. Do uzyskania wyniku badania interpoluje się wartość zmierzona do wartości dolnej granicy zakresu pomiarowego metody. Wartość tą wykorzystuje się do wyliczenia wyniku pomiaru i do stwierdzenia zgodności.

Objaśnienia:

GKP – Główny Kierunek Pomiarowy
PKP – Pomocniczy Kierunek Pomiarowy

Tabela nr 6 c.d.

| Nr pionu/ punktu | Lokalizacja pionu / punktu pomiarowego | | | Wartości obliczane zgodnie z wymaganiami załącznika do RMK z 18.02.2020 r. (Dz. U. 2020, poz. 258) | | | | | | |
|---------------------|--|----------|---|--|-------------------|------------------------------|------------------------------------|---|---------------------------|---|
| | LAT | LON | Opis | Wysokość pomiaru | Wartość zmierzona | Wynik badania z niepewnością | Wynik pomiaru pola-E ¹⁾ | Wskaźnik poziomu emisji WM _E | Wartość wyznaczona pola-H | Wskaźnik poziomu emisji WM _H |
| | | | | [m] | [V/m] | [V/m] | [V/m] | | [A/m] | |
| 1 | 2 | 3 | 4 | 5 | 6 | 7 | 8 | 9 | 10 | 11 |
| 7.19 | 54.44903 | 18.44361 | PKP; na azymucie 130° | 2,0 | 0,9 ^{N)} | 1,4 | 1,4 | 0,05 | 0,004 | 0,05 |
| 7.20 | 54.44889 | 18.44389 | PKP; na azymucie 130° | 2,0 | 0,9 ^{N)} | 1,4 | 1,4 | 0,05 | 0,004 | 0,05 |
| 7.21 | 54.44875 | 18.44403 | PKP; na azymucie 130° | 2,0 | 1,0 | 1,4 | 1,4 | 0,05 | 0,004 | 0,05 |
| 7.22 | 54.44861 | 18.44431 | PKP; na azymucie 130° | 2,0 | 0,9 ^{N)} | 1,4 | 1,4 | 0,05 | 0,004 | 0,05 |
| 7.23 | 54.44861 | 18.44458 | PKP; na azymucie 130° | 2,0 | 0,8 ^{N)} | 1,4 | 1,4 | 0,05 | 0,004 | 0,05 |
| 7.24 | 54.44847 | 18.44486 | PKP; na azymucie 130° | 2,0 | 0,8 ^{N)} | 1,4 | 1,4 | 0,05 | 0,004 | 0,05 |
| 7.25 | 54.44833 | 18.445 | PKP; na azymucie 130° | 2,0 | 0,8 ^{N)} | 1,4 | 1,4 | 0,05 | 0,004 | 0,05 |
| 8.1 | 54.45208 | 18.4368 | GKP; na azymucie 145°-1 m od ogrodzenia | 2,0 | 1,3 | 1,8 | 1,8 | 0,06 | 0,005 | 0,06 |
| 8.2 | 54.45195 | 18.43694 | GKP; na azymucie 145° | 2,0 | 1,2 | 1,6 | 1,6 | 0,06 | 0,004 | 0,06 |
| 8.3 | 54.45181 | 18.43708 | GKP; na azymucie 145° | 2,0 | 1,4 | 1,9 | 1,9 | 0,07 | 0,005 | 0,07 |
| 8.4 | 54.45167 | 18.43722 | GKP; na azymucie 145° | 2,0 | 1,5 | 2,0 | 2,0 | 0,07 | 0,005 | 0,07 |
| 8.5 | 54.45153 | 18.4375 | GKP; na azymucie 145° | 2,0 | 1,6 | 2,2 | 2,2 | 0,08 | 0,006 | 0,08 |
| 8.6 | 54.45139 | 18.43764 | GKP; na azymucie 145° | 2,0 | 1,7 | 2,3 | 2,3 | 0,08 | 0,006 | 0,08 |
| 8.7 | 54.45125 | 18.43778 | GKP; na azymucie 145° | 2,0 | 1,8 | 2,4 | 2,4 | 0,09 | 0,006 | 0,09 |
| 8.8 | 54.45111 | 18.43806 | GKP; na azymucie 145° | 2,0 | 2,0 | 2,7 | 2,7 | 0,10 | 0,007 | 0,10 |
| 8.9 | 54.44708 | 18.44278 | GKP; na azymucie 145° | 2,0 | 1,1 | 1,5 | 1,5 | 0,05 | 0,004 | 0,05 |
| 9.1 | 54.45222 | 18.43625 | GKP; na azymucie 165°-1 m od ogrodzenia | 2,0 | 1,2 | 1,6 | 1,6 | 0,06 | 0,004 | 0,06 |
| 9.2 | 54.45208 | 18.43625 | GKP; na azymucie 165° | 2,0 | 1,3 | 1,8 | 1,8 | 0,06 | 0,005 | 0,06 |
| 9.3 | 54.45195 | 18.43639 | GKP; na azymucie 165° | 2,0 | 1,4 | 1,9 | 1,9 | 0,07 | 0,005 | 0,07 |
| 9.4 | 54.45181 | 18.43639 | GKP; na azymucie 165° | 2,0 | 1,6 | 2,2 | 2,2 | 0,08 | 0,006 | 0,08 |
| 9.5 | 54.45153 | 18.43653 | GKP; na azymucie 165° | 2,0 | 1,6 | 2,2 | 2,2 | 0,08 | 0,006 | 0,08 |
| 9.6 | 54.45139 | 18.43653 | GKP; na azymucie 165° | 2,0 | 1,7 | 2,3 | 2,3 | 0,08 | 0,006 | 0,08 |
| 9.7 | 54.45125 | 18.43667 | GKP; na azymucie 165° | 2,0 | 1,8 | 2,4 | 2,4 | 0,09 | 0,006 | 0,09 |
| 9.8 | 54.44708 | 18.43861 | GKP; na azymucie 165° | 2,0 | 1,1 | 1,5 | 1,5 | 0,05 | 0,004 | 0,05 |

¹⁾ Za wynik pomiaru przyjmuje się wartość wyznaczoną jako iloczyn maksymalnej chwilowej wartości zmierzonej i poprawki pomiarowej, powiększoną o rozszerzoną niepewność pomiaru U dla współczynnika rozszerzenia k=2

^{N)} Wartość zmierzona spoza zakresu akredytacji. Do uzyskania wyniku badania interpoluje się wartość zmierzoną do wartości dolnej granicy zakresu pomiarowego metody. Wartość tą wykorzystuje się do wyliczenia wyniku pomiaru i do stwierdzenia zgodności.

Objaśnienia:

GKP – Główny Kierunek Pomiarowy

PKP – Pomocniczy Kierunek Pomiarowy

Tabela nr 6 c.d.

| Lokalizacja pionu / punktu pomiarowego | | | | Wartości obliczane zgodnie z wymaganiami załącznika do RMK z 18.02.2020 r. (Dz. U. 2020, poz. 258) | | | | | | |
|--|----------|----------|---|--|-------------------|------------------------------|------------------------------------|---|---------------------------|---|
| Nr pionu/ punktu | LAT | LON | Opis | Wysokość pomiaru | Wartość zmierzona | Wynik badania z niepewnością | Wynik pomiaru pola-E ¹⁾ | Wskaźnik poziomu emisji WM _E | Wartość wyznaczona pola-H | Wskaźnik poziomu emisji WM _H |
| | | | | [m] | [V/m] | [V/m] | [V/m] | | [A/m] | |
| 1 | 2 | 3 | 4 | 5 | 6 | 7 | 8 | 9 | 10 | 11 |
| 9.9 | 54.44695 | 18.43861 | GKP; na azymucie 165° | 2,0 | 1,0 | 1,4 | 1,4 | 0,05 | 0,004 | 0,05 |
| 9.10 | 54.44667 | 18.43875 | GKP; na azymucie 165° | 2,0 | 1,0 | 1,4 | 1,4 | 0,05 | 0,004 | 0,05 |
| 9.11 | 54.44611 | 18.43903 | GKP; na azymucie 165° | 2,0 | 0,9 ^{N)} | 1,4 | 1,4 | 0,05 | 0,004 | 0,05 |
| 9.12 | 54.44597 | 18.43917 | GKP; na azymucie 165° | 2,0 | 0,8 ^{N)} | 1,4 | 1,4 | 0,05 | 0,004 | 0,05 |
| 10.1 | 54.45236 | 18.43597 | GKP; na azymucie 185°-1 m od ogrodzenia | 2,0 | 1,5 | 2,0 | 2,0 | 0,07 | 0,005 | 0,07 |
| 10.2 | 54.45222 | 18.43583 | GKP; na azymucie 185° | 2,0 | 1,6 | 2,2 | 2,2 | 0,08 | 0,006 | 0,08 |
| 10.3 | 54.45208 | 18.43583 | GKP; na azymucie 185° | 2,0 | 1,6 | 2,2 | 2,2 | 0,08 | 0,006 | 0,08 |
| 10.4 | 54.45181 | 18.43583 | GKP; na azymucie 185° | 2,0 | 1,6 | 2,2 | 2,2 | 0,08 | 0,006 | 0,08 |
| 10.5 | 54.45167 | 18.43583 | GKP; na azymucie 185° | 2,0 | 1,7 | 2,3 | 2,3 | 0,08 | 0,006 | 0,08 |
| 10.6 | 54.45153 | 18.43583 | GKP; na azymucie 185° | 2,0 | 1,8 | 2,4 | 2,4 | 0,09 | 0,006 | 0,09 |
| 10.7 | 54.45125 | 18.43569 | GKP; na azymucie 185° | 2,0 | 1,6 | 2,2 | 2,2 | 0,08 | 0,006 | 0,08 |
| 10.8 | 54.45111 | 18.43569 | GKP; na azymucie 185° | 2,0 | 1,7 | 2,3 | 2,3 | 0,08 | 0,006 | 0,08 |
| 10.9 | 54.45097 | 18.43569 | GKP; na azymucie 185° | 2,0 | 1,8 | 2,4 | 2,4 | 0,09 | 0,006 | 0,09 |
| 10.10 | 54.45083 | 18.43569 | GKP; na azymucie 185° | 2,0 | 2,1 | 2,8 | 2,8 | 0,10 | 0,008 | 0,10 |
| 10.11 | 54.44584 | 18.435 | GKP; na azymucie 185° | 2,0 | 1,1 | 1,5 | 1,5 | 0,05 | 0,004 | 0,05 |
| 11.1 | 54.45181 | 18.43569 | GKP; na azymucie 189° | 2,0 | 1,3 | 1,8 | 1,8 | 0,06 | 0,005 | 0,06 |
| 11.2 | 54.45167 | 18.43569 | GKP; na azymucie 189° | 2,0 | 1,2 | 1,6 | 1,6 | 0,06 | 0,004 | 0,06 |
| 11.3 | 54.45153 | 18.43569 | GKP; na azymucie 189° | 2,0 | 1,5 | 2,0 | 2,0 | 0,07 | 0,005 | 0,07 |
| 11.4 | 54.45139 | 18.43555 | GKP; na azymucie 189° | 2,0 | 1,4 | 1,9 | 1,9 | 0,07 | 0,005 | 0,07 |
| 11.5 | 54.45111 | 18.43555 | GKP; na azymucie 189° | 2,0 | 1,6 | 2,2 | 2,2 | 0,08 | 0,006 | 0,08 |
| 11.6 | 54.45097 | 18.43555 | GKP; na azymucie 189° | 2,0 | 1,6 | 2,2 | 2,2 | 0,08 | 0,006 | 0,08 |
| 11.7 | 54.45083 | 18.43542 | GKP; na azymucie 189° | 2,0 | 1,7 | 2,3 | 2,3 | 0,08 | 0,006 | 0,08 |
| 11.8 | 54.44597 | 18.43417 | GKP; na azymucie 189° | 2,0 | 1,0 | 1,4 | 1,4 | 0,05 | 0,004 | 0,05 |

¹⁾ Za wynik pomiaru przyjmuje się wartość wyznaczoną jako iloczyn maksymalnej chwilowej wartości zmierzonej i poprawki pomiarowej, powiększoną o rozszerzoną niepewność pomiaru U dla współczynnika rozszerzenia k=2

^{N)} Wartość zmierzona spoza zakresu akredytacji. Do uzyskania wyniku badania interpoluje się wartość zmierzoną do wartości dolnej granicy zakresu pomiarowego metody. Wartość tą wykorzystuje się do wyliczenia wyniku pomiaru i do stwierdzenia zgodności.

Objaśnienia:

GKP – Główny Kierunek Pomiarowy

Tabela nr 6 c.d.

| Nr pionu/ punktu | Lokalizacja pionu / punktu pomiarowego | | | Wartości obliczane zgodnie z wymaganiami załącznika do RMK z 18.02.2020 r. (Dz. U. 2020, poz. 258) | | | | | | |
|---------------------|--|----------|---|--|-------------------|------------------------------|------------------------------------|---|---------------------------|---|
| | LAT | LON | Opis | Wysokość pomiaru | Wartość zmierzona | Wynik badania z niepewnością | Wynik pomiaru pola-E ¹⁾ | Wskaźnik poziomu emisji WM _E | Wartość wyznaczona pola-H | Wskaźnik poziomu emisji WM _H |
| | | | | [m] | [V/m] | [V/m] | [V/m] | | [A/m] | |
| 1 | 2 | 3 | 4 | 5 | 6 | 7 | 8 | 9 | 10 | 11 |
| 12.1 | 54.4525 | 18.43555 | PKP; na azymucie 219°-1 m od ogrodzenia | 2,0 | 1,3 | 1,8 | 1,8 | 0,06 | 0,005 | 0,06 |
| 12.2 | 54.45236 | 18.43542 | PKP; na azymucie 219° | 2,0 | 1,1 | 1,5 | 1,5 | 0,05 | 0,004 | 0,05 |
| 12.3 | 54.45222 | 18.43514 | PKP; na azymucie 219° | 2,0 | 1,2 | 1,6 | 1,6 | 0,06 | 0,004 | 0,06 |
| 12.4 | 54.45208 | 18.435 | PKP; na azymucie 219° | 2,0 | 1,3 | 1,8 | 1,8 | 0,06 | 0,005 | 0,06 |
| 12.5 | 54.45195 | 18.43486 | PKP; na azymucie 219° | 2,0 | 1,4 | 1,9 | 1,9 | 0,07 | 0,005 | 0,07 |
| 12.6 | 54.45181 | 18.43458 | PKP; na azymucie 219° | 2,0 | 1,4 | 1,9 | 1,9 | 0,07 | 0,005 | 0,07 |
| 12.7 | 54.45167 | 18.43444 | PKP; na azymucie 219° | 2,0 | 1,6 | 2,2 | 2,2 | 0,08 | 0,006 | 0,08 |
| 12.8 | 54.45153 | 18.43417 | PKP; na azymucie 219° | 2,0 | 1,7 | 2,3 | 2,3 | 0,08 | 0,006 | 0,08 |
| 12.9 | 54.45139 | 18.43403 | PKP; na azymucie 219° | 2,0 | 1,6 | 2,2 | 2,2 | 0,08 | 0,006 | 0,08 |
| 12.10 | 54.45125 | 18.43389 | PKP; na azymucie 219° | 2,0 | 1,2 | 1,6 | 1,6 | 0,06 | 0,004 | 0,06 |
| 12.11 | 54.45111 | 18.43361 | PKP; na azymucie 219° | 2,0 | 1,1 | 1,5 | 1,5 | 0,05 | 0,004 | 0,05 |
| 12.12 | 54.44847 | 18.43 | PKP; na azymucie 219° | 2,0 | 1,0 | 1,4 | 1,4 | 0,05 | 0,004 | 0,05 |
| 12.13 | 54.44833 | 18.42972 | PKP; na azymucie 219° | 2,0 | 1,0 | 1,4 | 1,4 | 0,05 | 0,004 | 0,05 |
| 12.14 | 54.4482 | 18.42958 | PKP; na azymucie 219° | 2,0 | 1,1 | 1,5 | 1,5 | 0,05 | 0,004 | 0,05 |
| 12.15 | 54.44806 | 18.4293 | PKP; na azymucie 219° | 2,0 | 1,0 | 1,4 | 1,4 | 0,05 | 0,004 | 0,05 |
| 12.16 | 54.44792 | 18.42917 | PKP; na azymucie 219° | 2,0 | 0,9 ^{N)} | 1,4 | 1,4 | 0,05 | 0,004 | 0,05 |
| 12.17 | 54.44778 | 18.42903 | PKP; na azymucie 219° | 2,0 | 0,8 ^{N)} | 1,4 | 1,4 | 0,05 | 0,004 | 0,05 |
| 12.18 | 54.44694 | 18.42792 | PKP; na azymucie 219° | 2,0 | 0,8 ^{N)} | 1,4 | 1,4 | 0,05 | 0,004 | 0,05 |
| 13.1 | 54.4525 | 18.43542 | GKP; na azymucie 235°-1 m od ogrodzenia | 2,0 | 1,4 | 1,9 | 1,9 | 0,07 | 0,005 | 0,07 |
| 13.2 | 54.45236 | 18.43514 | GKP; na azymucie 235° | 2,0 | 1,3 | 1,8 | 1,8 | 0,06 | 0,005 | 0,06 |
| 13.3 | 54.45236 | 18.43486 | GKP; na azymucie 235° | 2,0 | 1,4 | 1,9 | 1,9 | 0,07 | 0,005 | 0,07 |
| 13.4 | 54.45222 | 18.43458 | GKP; na azymucie 235° | 2,0 | 1,2 | 1,6 | 1,6 | 0,06 | 0,004 | 0,06 |
| 13.5 | 54.45208 | 18.43444 | GKP; na azymucie 235° | 2,0 | 1,3 | 1,8 | 1,8 | 0,06 | 0,005 | 0,06 |
| 13.6 | 54.45195 | 18.43417 | GKP; na azymucie 235° | 2,0 | 1,4 | 1,9 | 1,9 | 0,07 | 0,005 | 0,07 |
| 13.7 | 54.45195 | 18.43389 | GKP; na azymucie 235° | 2,0 | 1,4 | 1,9 | 1,9 | 0,07 | 0,005 | 0,07 |

¹⁾ Za wynik pomiaru przyjmuje się wartość wyznaczoną jako iloczyn maksymalnej chwilowej wartości zmierzonej i poprawki pomiarowej, powiększoną o rozszerzoną niepewność pomiaru U dla współczynnika rozszerzenia k=2

^{N)} Wartość zmierzona spoza zakresu akredytacji. Do uzyskania wyniku badania interpoluje się wartość zmierzona do wartości dolnej granicy zakresu pomiarowego metody. Wartość tą wykorzystuje się do wyliczenia wyniku pomiaru i do stwierdzenia zgodności.

Objaśnienia:

GKP – Główny Kierunek Pomiarowy

PKP – Pomocniczy Kierunek Pomiarowy

Tabela nr 6 c.d.

| Lokalizacja pionu / punktu pomiarowego | | | | Wartości obliczane zgodnie z wymaganiami załącznika do RMK z 18.02.2020 r. (Dz. U. 2020, poz. 258) | | | | | | |
|--|----------|----------|---|--|-------------------|------------------------------|------------------------------------|---|---------------------------|---|
| Nr pionu/ punktu | LAT | LON | Opis | Wysokość pomiaru | Wartość zmierzona | Wynik badania z niepewnością | Wynik pomiaru pola-E ¹⁾ | Wskaźnik poziomu emisji WM _E | Wartość wyznaczona pola-H | Wskaźnik poziomu emisji WM _H |
| | | | | [m] | [V/m] | [V/m] | [V/m] | | [A/m] | |
| 1 | 2 | 3 | 4 | 5 | 6 | 7 | 8 | 9 | 10 | 11 |
| 13.8 | 54.45181 | 18.43361 | GKP; na azymucie 235° | 2,0 | 1,5 | 2,0 | 2,0 | 0,07 | 0,005 | 0,07 |
| 13.9 | 54.45167 | 18.43333 | GKP; na azymucie 235° | 2,0 | 1,4 | 1,9 | 1,9 | 0,07 | 0,005 | 0,07 |
| 13.10 | 54.45153 | 18.43305 | GKP; na azymucie 235° | 2,0 | 1,5 | 2,0 | 2,0 | 0,07 | 0,005 | 0,07 |
| 13.11 | 54.45153 | 18.43292 | GKP; na azymucie 235° | 2,0 | 1,6 | 2,2 | 2,2 | 0,08 | 0,006 | 0,08 |
| 13.12 | 54.45139 | 18.43264 | GKP; na azymucie 235° | 2,0 | 1,7 | 2,3 | 2,3 | 0,08 | 0,006 | 0,08 |
| 13.13 | 54.45125 | 18.43236 | GKP; na azymucie 235° | 2,0 | 1,6 | 2,2 | 2,2 | 0,08 | 0,006 | 0,08 |
| 13.14 | 54.45111 | 18.43208 | GKP; na azymucie 235° | 2,0 | 1,6 | 2,2 | 2,2 | 0,08 | 0,006 | 0,08 |
| 13.15 | 54.44972 | 18.42861 | GKP; na azymucie 235° | 2,0 | 1,1 | 1,5 | 1,5 | 0,05 | 0,004 | 0,05 |
| 13.16 | 54.44958 | 18.42833 | GKP; na azymucie 235° | 2,0 | 1,1 | 1,5 | 1,5 | 0,05 | 0,004 | 0,05 |
| 13.17 | 54.44958 | 18.42805 | GKP; na azymucie 235° | 2,0 | 1,0 | 1,4 | 1,4 | 0,05 | 0,004 | 0,05 |
| 13.18 | 54.44944 | 18.42778 | GKP; na azymucie 235° | 2,0 | 1,0 | 1,4 | 1,4 | 0,05 | 0,004 | 0,05 |
| 13.19 | 54.44931 | 18.4275 | GKP; na azymucie 235° | 2,0 | 1,0 | 1,4 | 1,4 | 0,05 | 0,004 | 0,05 |
| 13.20 | 54.44917 | 18.42736 | GKP; na azymucie 235° | 2,0 | 0,9 ^{N)} | 1,4 | 1,4 | 0,05 | 0,004 | 0,05 |
| 13.21 | 54.44917 | 18.42708 | GKP; na azymucie 235° | 2,0 | 1,0 | 1,4 | 1,4 | 0,05 | 0,004 | 0,05 |
| 13.22 | 54.44903 | 18.42681 | GKP; na azymucie 235° | 2,0 | 0,8 ^{N)} | 1,4 | 1,4 | 0,05 | 0,004 | 0,05 |
| 13.23 | 54.44889 | 18.42653 | GKP; na azymucie 235° | 2,0 | 0,9 ^{N)} | 1,4 | 1,4 | 0,05 | 0,004 | 0,05 |
| 13.24 | 54.44875 | 18.42625 | GKP; na azymucie 235° | 2,0 | 0,9 ^{N)} | 1,4 | 1,4 | 0,05 | 0,004 | 0,05 |
| 14.1 | 54.45264 | 18.43514 | GKP; na azymucie 265°-1 m od ogrodzenia | 2,0 | 1,9 | 2,6 | 2,6 | 0,09 | 0,007 | 0,09 |
| 14.2 | 54.45264 | 18.43486 | GKP; na azymucie 265° | 2,0 | 2,0 | 2,7 | 2,7 | 0,10 | 0,007 | 0,10 |
| 14.3 | 54.45264 | 18.43458 | GKP; na azymucie 265° | 2,0 | 2,1 | 2,8 | 2,8 | 0,10 | 0,008 | 0,10 |
| 14.4 | 54.45264 | 18.43431 | GKP; na azymucie 265° | 2,0 | 2,0 | 2,7 | 2,7 | 0,10 | 0,007 | 0,10 |
| 14.5 | 54.45264 | 18.43389 | GKP; na azymucie 265° | 2,0 | 1,9 | 2,6 | 2,6 | 0,09 | 0,007 | 0,09 |
| 14.6 | 54.45264 | 18.43361 | GKP; na azymucie 265° | 2,0 | 1,9 | 2,6 | 2,6 | 0,09 | 0,007 | 0,09 |

¹⁾ Za wynik pomiaru przyjmuje się wartość wyznaczoną jako iloczyn maksymalnej chwilowej wartości zmierzonej i poprawki pomiarowej, powiększoną o rozszerzoną niepewność pomiaru U dla współczynnika rozszerzenia k=2

^{N)} Wartość zmierzona spoza zakresu akredytacji. Do uzyskania wyniku badania interpoluje się wartość zmierzona do wartości dolnej granicy zakresu pomiarowego metody. Wartość tą wykorzystuje się do wyliczenia wyniku pomiaru i do stwierdzenia zgodności.

Objaśnienia:

GKP – Główny Kierunek Pomiarowy

Tabela nr 6 c.d.

| Lokalizacja pionu / punktu pomiarowego | | | | Wartości obliczane zgodnie z wymaganiami załącznika do RMK z 18.02.2020 r. (Dz. U. 2020, poz. 258) | | | | | | |
|--|-----------------|-----------------|--|--|-------------------|------------------------------|------------------------------------|---|---------------------------|---|
| Nr pionu/ punktu | LAT | LON | Opis | Wysokość pomiaru | Wartość zmierzona | Wynik badania z niepewnością | Wynik pomiaru pola-E ¹⁾ | Wskaźnik poziomu emisji WM _E | Wartość wyznaczona pola-H | Wskaźnik poziomu emisji WM _H |
| | | | | [m] | [V/m] | [V/m] | [V/m] | | [A/m] | |
| 1 | 2 | 3 | 4 | 5 | 6 | 7 | 8 | 9 | 10 | 11 |
| 14.7 | 54.45264 | 18.43333 | GKP; na azymucie 265° | 2,0 | 1,7 | 2,3 | 2,3 | 0,08 | 0,006 | 0,08 |
| 14.8 | 54.45264 | 18.43305 | GKP; na azymucie 265° | 2,0 | 1,6 | 2,2 | 2,2 | 0,08 | 0,006 | 0,08 |
| 14.9 | 54.4525 | 18.43278 | GKP; na azymucie 265° | 2,0 | 1,6 | 2,2 | 2,2 | 0,08 | 0,006 | 0,08 |
| 14.10 | 54.4525 | 18.43236 | GKP; na azymucie 265° | 2,0 | 1,5 | 2,0 | 2,0 | 0,07 | 0,005 | 0,07 |
| 14.11 | 54.4525 | 18.43208 | GKP; na azymucie 265° | 2,0 | 1,6 | 2,2 | 2,2 | 0,08 | 0,006 | 0,08 |
| 14.12 | 54.4525 | 18.4318 | GKP; na azymucie 265° | 2,0 | 1,6 | 2,2 | 2,2 | 0,08 | 0,006 | 0,08 |
| 14.13 | 54.4525 | 18.43153 | GKP; na azymucie 265° | 2,0 | 1,6 | 2,2 | 2,2 | 0,08 | 0,006 | 0,08 |
| 14.14 | 54.4525 | 18.43125 | GKP; na azymucie 265° | 2,0 | 1,6 | 2,2 | 2,2 | 0,08 | 0,006 | 0,08 |
| 14.15 | 54.4525 | 18.43083 | GKP; na azymucie 265° | 2,0 | 1,4 | 1,9 | 1,9 | 0,07 | 0,005 | 0,07 |
| 14.16 | 54.45236 | 18.43056 | GKP; na azymucie 265° | 2,0 | 1,5 | 2,0 | 2,0 | 0,07 | 0,005 | 0,07 |
| 14.17 | 54.45236 | 18.43028 | GKP; na azymucie 265° | 2,0 | 1,4 | 1,9 | 1,9 | 0,07 | 0,005 | 0,07 |
| 14.18 | 54.45236 | 18.43 | GKP; na azymucie 265° | 2,0 | 1,3 | 1,8 | 1,8 | 0,06 | 0,005 | 0,06 |
| 14.19 | 54.45236 | 18.42958 | GKP; na azymucie 265° | 2,0 | 1,1 | 1,5 | 1,5 | 0,05 | 0,004 | 0,05 |
| 14.20 | 54.45236 | 18.4293 | GKP; na azymucie 265° | 2,0 | 1,2 | 1,6 | 1,6 | 0,06 | 0,004 | 0,06 |
| 14.21 | 54.45236 | 18.42903 | GKP; na azymucie 265° | 2,0 | 1,0 | 1,4 | 1,4 | 0,05 | 0,004 | 0,05 |
| 14.22 | 54.45236 | 18.42875 | GKP; na azymucie 265° | 2,0 | 1,1 | 1,5 | 1,5 | 0,05 | 0,004 | 0,05 |
| 14.23 | 54.45222 | 18.42847 | GKP; na azymucie 265° | 2,0 | 1,2 | 1,6 | 1,6 | 0,06 | 0,004 | 0,06 |
| 14.24 | 54.45167 | 18.41861 | GKP; 1130m od obiektu, na azymucie 265° | 2,0 | 1,1 | 1,5 | 1,5 | 0,05 | 0,004 | 0,05 |
| 15.1 | 54.45281 | 18.43519 | GKP; na azymucie 279°, 285° - 1 m od ogrodzenia | 2,0 | 2,1 | 2,8 | 2,8 | 0,10 | 0,008 | 0,10 |
| 15.2 | 54.45278 | 18.435 | GKP; na azymucie 279° | 2,0 | 2,1 | 2,8 | 2,8 | 0,10 | 0,008 | 0,10 |
| 15.3 | 54.45292 | 18.43472 | GKP; na azymucie 279° | 2,0 | 2,0 | 2,7 | 2,7 | 0,10 | 0,007 | 0,10 |
| 15.4 | 54.45292 | 18.43431 | GKP; na azymucie 279° | 2,0 | 1,9 | 2,6 | 2,6 | 0,09 | 0,007 | 0,09 |
| 15.5 | 54.45292 | 18.43361 | GKP; na azymucie 279° | 2,0 | 2,0 | 2,7 | 2,7 | 0,10 | 0,007 | 0,10 |
| 15.6 | 54.45297 | 18.43294 | GKP; na azymucie 279° | 2,0 | 1,8 | 2,4 | 2,4 | 0,09 | 0,006 | 0,09 |
| 15.7 | 54.45300 | 18.43261 | GKP; na azymucie 279° | 2,0 | 1,7 | 2,3 | 2,3 | 0,08 | 0,006 | 0,08 |

¹⁾ Za wynik pomiaru przyjmuje się wartość wyznaczoną jako iloczyn maksymalnej chwilowej wartości zmierzonej i poprawki pomiarowej, powiększoną o rozszerzoną niepewność pomiaru U dla współczynnika rozszerzenia k=2

Objaśnienia:

GKP – Główny Kierunek Pomiarowy

Tabela nr 6 c.d.

| Lokalizacja pionu / punktu pomiarowego | | | | Wartości obliczane zgodnie z wymaganiami załącznika do RMK z 18.02.2020 r. (Dz. U. 2020, poz. 258) | | | | | | |
|--|----------|----------|-----------------------|--|-------------------|------------------------------|------------------------------------|---|---------------------------|---|
| Nr pionu/ punktu | LAT | LON | Opis | Wysokość pomiaru | Wartość zmierzona | Wynik badania z niepewnością | Wynik pomiaru pola-E ¹⁾ | Wskaźnik poziomu emisji WM _E | Wartość wyznaczona pola-H | Wskaźnik poziomu emisji WM _H |
| | | | | [m] | [V/m] | [V/m] | [V/m] | | [A/m] | |
| 1 | 2 | 3 | 4 | 5 | 6 | 7 | 8 | 9 | 10 | 11 |
| 15.8 | 54.45306 | 18.4325 | GKP; na azymucie 279° | 2,0 | 1,6 | 2,2 | 2,2 | 0,08 | 0,006 | 0,08 |
| 15.9 | 54.45306 | 18.43222 | GKP; na azymucie 279° | 2,0 | 1,3 | 1,8 | 1,8 | 0,06 | 0,005 | 0,06 |
| 15.10 | 54.45319 | 18.43194 | GKP; na azymucie 279° | 2,0 | 1,6 | 2,2 | 2,2 | 0,08 | 0,006 | 0,08 |
| 15.11 | 54.45319 | 18.43167 | GKP; na azymucie 279° | 2,0 | 1,7 | 2,3 | 2,3 | 0,08 | 0,006 | 0,08 |
| 15.12 | 54.45319 | 18.43125 | GKP; na azymucie 279° | 2,0 | 1,4 | 1,9 | 1,9 | 0,07 | 0,005 | 0,07 |
| 15.13 | 54.45319 | 18.43097 | GKP; na azymucie 279° | 2,0 | 1,6 | 2,2 | 2,2 | 0,08 | 0,006 | 0,08 |
| 15.14 | 54.45319 | 18.43069 | GKP; na azymucie 279° | 2,0 | 1,5 | 2,0 | 2,0 | 0,07 | 0,005 | 0,07 |
| 15.15 | 54.45333 | 18.43042 | GKP; na azymucie 279° | 2,0 | 1,6 | 2,2 | 2,2 | 0,08 | 0,006 | 0,08 |
| 15.16 | 54.45333 | 18.43014 | GKP; na azymucie 279° | 2,0 | 1,6 | 2,2 | 2,2 | 0,08 | 0,006 | 0,08 |
| 15.17 | 54.45333 | 18.42972 | GKP; na azymucie 279° | 2,0 | 1,6 | 2,2 | 2,2 | 0,08 | 0,006 | 0,08 |
| 15.18 | 54.45333 | 18.42944 | GKP; na azymucie 279° | 2,0 | 1,4 | 1,9 | 1,9 | 0,07 | 0,005 | 0,07 |
| 15.19 | 54.45333 | 18.42917 | GKP; na azymucie 279° | 2,0 | 1,5 | 2,0 | 2,0 | 0,07 | 0,005 | 0,07 |
| 15.20 | 54.45347 | 18.42889 | GKP; na azymucie 279° | 2,0 | 1,4 | 1,9 | 1,9 | 0,07 | 0,005 | 0,07 |
| 15.21 | 54.45347 | 18.42861 | GKP; na azymucie 279° | 2,0 | 1,3 | 1,8 | 1,8 | 0,06 | 0,005 | 0,06 |
| 15.22 | 54.45347 | 18.42819 | GKP; na azymucie 279° | 2,0 | 1,2 | 1,6 | 1,6 | 0,06 | 0,004 | 0,06 |
| 15.23 | 54.45347 | 18.42792 | GKP; na azymucie 279° | 2,0 | 1,2 | 1,6 | 1,6 | 0,06 | 0,004 | 0,06 |
| 15.24 | 54.45347 | 18.42764 | GKP; na azymucie 279° | 2,0 | 1,1 | 1,5 | 1,5 | 0,05 | 0,004 | 0,05 |
| 15.25 | 54.45361 | 18.42736 | GKP; na azymucie 279° | 2,0 | 1,1 | 1,5 | 1,5 | 0,05 | 0,004 | 0,05 |
| 15.26 | 54.45361 | 18.42708 | GKP; na azymucie 279° | 2,0 | 1,0 | 1,4 | 1,4 | 0,05 | 0,004 | 0,05 |
| 15.27 | 54.45361 | 18.42667 | GKP; na azymucie 279° | 2,0 | 1,0 | 1,4 | 1,4 | 0,05 | 0,004 | 0,05 |
| 15.28 | 54.45361 | 18.42639 | GKP; na azymucie 279° | 2,0 | 1,1 | 1,5 | 1,5 | 0,05 | 0,004 | 0,05 |
| 15.29 | 54.45361 | 18.42611 | GKP; na azymucie 279° | 2,0 | 1,0 | 1,4 | 1,4 | 0,05 | 0,004 | 0,05 |
| 15.30 | 54.45375 | 18.42583 | GKP; na azymucie 279° | 2,0 | 0,9 ^{N)} | 1,4 | 1,4 | 0,05 | 0,004 | 0,05 |
| 15.31 | 54.45375 | 18.42555 | GKP; na azymucie 279° | 2,0 | 0,8 ^{N)} | 1,4 | 1,4 | 0,05 | 0,004 | 0,05 |
| 15.32 | 54.45375 | 18.42514 | GKP; na azymucie 279° | 2,0 | 0,8 ^{N)} | 1,4 | 1,4 | 0,05 | 0,004 | 0,05 |

¹⁾ Za wynik pomiaru przyjmuje się wartość wyznaczoną jako iloczyn maksymalnej chwilowej wartości zmierzonej i poprawki pomiarowej, powiększoną o rozszerzoną niepewność pomiaru U dla współczynnika rozszerzenia k=2
^{N)} Wartość zmierzona spoza zakresu akredytacji. Do uzyskania wyniku badania interpoluje się wartość zmierzoną do wartości dolnej granicy zakresu pomiarowego metody. Wartość tą wykorzystuje się do wyliczenia wyniku pomiaru i do stwierdzenia zgodności.

Objaśnienia:

GKP – Główny Kierunek Pomiarowy

Tabela nr 6 c.d.

| Lokalizacja pionu / punktu pomiarowego | | | | Wartości obliczane zgodnie z wymaganiami załącznika do RMK z 18.02.2020 r. (Dz. U. 2020, poz. 258) | | | | | | |
|--|-----------------|-----------------|------------------------------|--|-------------------|------------------------------|------------------------------------|---|---------------------------|---|
| Nr pionu/ punktu | LAT | LON | Opis | Wysokość pomiaru | Wartość zmierzona | Wynik badania z niepewnością | Wynik pomiaru pola-E ¹⁾ | Wskaźnik poziomu emisji WM _E | Wartość wyznaczona pola-H | Wskaźnik poziomu emisji WM _H |
| | | | | [m] | [V/m] | [V/m] | [V/m] | | [A/m] | |
| 1 | 2 | 3 | 4 | 5 | 6 | 7 | 8 | 9 | 10 | 11 |
| 15.33 | 54.45375 | 18.42486 | GKP; na azymucie 279° | 2,0 | 0,9 ^{N)} | 1,4 | 1,4 | 0,05 | 0,004 | 0,05 |
| 15.34 | 54.45375 | 18.42458 | GKP; na azymucie 279° | 2,0 | 0,8 ^{N)} | 1,4 | 1,4 | 0,05 | 0,004 | 0,05 |
| 15.35 | 54.45403 | 18.42361 | GKP; na azymucie 279° | 2,0 | 0,9 ^{N)} | 1,4 | 1,4 | 0,05 | 0,004 | 0,05 |
| 16.1 | 54.45292 | 18.435 | GKP; na azymucie 285° | 2,0 | 2,0 | 2,7 | 2,7 | 0,10 | 0,007 | 0,10 |
| 16.2 | 54.45292 | 18.43472 | GKP; na azymucie 285° | 2,0 | 1,9 | 2,6 | 2,6 | 0,09 | 0,007 | 0,09 |
| 16.3 | 54.45306 | 18.43444 | GKP; na azymucie 285° | 2,0 | 1,8 | 2,4 | 2,4 | 0,09 | 0,006 | 0,09 |
| 16.4 | 54.45314 | 18.43300 | GKP; na azymucie 285° | 2,0 | 1,7 | 2,3 | 2,3 | 0,08 | 0,006 | 0,08 |
| 16.5 | 54.45319 | 18.43250 | GKP; na azymucie 285° | 2,0 | 1,6 | 2,2 | 2,2 | 0,08 | 0,006 | 0,08 |
| 16.6 | 54.45333 | 18.43236 | GKP; na azymucie 285° | 2,0 | 1,3 | 1,8 | 1,8 | 0,06 | 0,005 | 0,06 |
| 16.7 | 54.45347 | 18.43167 | GKP; na azymucie 285° | 2,0 | 1,6 | 2,2 | 2,2 | 0,08 | 0,006 | 0,08 |
| 16.8 | 54.45347 | 18.43139 | GKP; na azymucie 285° | 2,0 | 1,6 | 2,2 | 2,2 | 0,08 | 0,006 | 0,08 |
| 16.9 | 54.45347 | 18.43111 | GKP; na azymucie 285° | 2,0 | 1,5 | 2,0 | 2,0 | 0,07 | 0,005 | 0,07 |
| 16.10 | 54.45361 | 18.43083 | GKP; na azymucie 285° | 2,0 | 1,4 | 1,9 | 1,9 | 0,07 | 0,005 | 0,07 |
| 16.11 | 54.45361 | 18.43056 | GKP; na azymucie 285° | 2,0 | 1,5 | 2,0 | 2,0 | 0,07 | 0,005 | 0,07 |
| 16.12 | 54.45361 | 18.43028 | GKP; na azymucie 285° | 2,0 | 1,6 | 2,2 | 2,2 | 0,08 | 0,006 | 0,08 |
| 16.13 | 54.45375 | 18.42986 | GKP; na azymucie 285° | 2,0 | 1,6 | 2,2 | 2,2 | 0,08 | 0,006 | 0,08 |
| 16.14 | 54.45375 | 18.42958 | GKP; na azymucie 285° | 2,0 | 1,5 | 2,0 | 2,0 | 0,07 | 0,005 | 0,07 |
| 16.15 | 54.45375 | 18.4293 | GKP; na azymucie 285° | 2,0 | 1,4 | 1,9 | 1,9 | 0,07 | 0,005 | 0,07 |
| 16.16 | 54.45389 | 18.42903 | GKP; na azymucie 285° | 2,0 | 1,5 | 2,0 | 2,0 | 0,07 | 0,005 | 0,07 |
| 16.17 | 54.45389 | 18.42875 | GKP; na azymucie 285° | 2,0 | 1,3 | 1,8 | 1,8 | 0,06 | 0,005 | 0,06 |
| 16.18 | 54.45389 | 18.42847 | GKP; na azymucie 285° | 2,0 | 1,2 | 1,6 | 1,6 | 0,06 | 0,004 | 0,06 |
| 16.19 | 54.45403 | 18.42819 | GKP; na azymucie 285° | 2,0 | 1,1 | 1,5 | 1,5 | 0,05 | 0,004 | 0,05 |
| 16.20 | 54.45403 | 18.42778 | GKP; na azymucie 285° | 2,0 | 1,0 | 1,4 | 1,4 | 0,05 | 0,004 | 0,05 |
| 16.21 | 54.45403 | 18.4275 | GKP; na azymucie 285° | 2,0 | 1,1 | 1,5 | 1,5 | 0,05 | 0,004 | 0,05 |
| 16.22 | 54.45417 | 18.42722 | GKP; na azymucie 285° | 2,0 | 1,0 | 1,4 | 1,4 | 0,05 | 0,004 | 0,05 |
| 16.23 | 54.45417 | 18.42694 | GKP; na azymucie 285° | 2,0 | 0,9 ^{N)} | 1,4 | 1,4 | 0,05 | 0,004 | 0,05 |
| 16.24 | 54.45417 | 18.42667 | GKP; na azymucie 285° | 2,0 | 0,9 ^{N)} | 1,4 | 1,4 | 0,05 | 0,004 | 0,05 |

¹⁾ Za wynik pomiaru przyjmuje się wartość wyznaczoną jako iloczyn maksymalnej chwilowej wartości zmierzonej i poprawki pomiarowej, powiększoną o rozszerzoną niepewność pomiaru U dla współczynnika rozszerzenia k=2

^{N)} Wartość zmierzona spoza zakresu akredytacji. Do uzyskania wyniku badania interpoluje się wartość zmierzoną do wartości dolnej granicy zakresu pomiarowego metody. Wartość tą wykorzystuje się do wyliczenia wyniku pomiaru i do stwierdzenia zgodności.

Objaśnienia:

GKP – Główny Kierunek Pomiarowy

Tabela nr 6 c.d.

| Lokalizacja pionu / punktu pomiarowego | | | | Wartości obliczane zgodnie z wymaganiami załącznika do RMK z 18.02.2020 r. (Dz. U. 2020, poz. 258) | | | | | | |
|--|-----------------|-----------------|--|--|-------------------|------------------------------|------------------------------------|---|---------------------------|---|
| Nr pionu/ punktu | LAT | LON | Opis | Wysokość pomiaru | Wartość zmierzona | Wynik badania z niepewnością | Wynik pomiaru pola-E ¹⁾ | Wskaźnik poziomu emisji WM _E | Wartość wyznaczona pola-H | Wskaźnik poziomu emisji WM _H |
| | | | | [m] | [V/m] | [V/m] | [V/m] | | [A/m] | |
| 1 | 2 | 3 | 4 | 5 | 6 | 7 | 8 | 9 | 10 | 11 |
| 16.25 | 54.45431 | 18.42639 | GKP; na azymucie 285° | 2,0 | 0,8 ^{N)} | 1,4 | 1,4 | 0,05 | 0,004 | 0,05 |
| 16.26 | 54.45431 | 18.42597 | GKP; na azymucie 285° | 2,0 | 0,8 ^{N)} | 1,4 | 1,4 | 0,05 | 0,004 | 0,05 |
| 16.27 | 54.45431 | 18.42569 | GKP; na azymucie 285° | 2,0 | 0,9 ^{N)} | 1,4 | 1,4 | 0,05 | 0,004 | 0,05 |
| 16.28 | 54.45444 | 18.42542 | GKP; na azymucie 285° | 2,0 | 0,8 ^{N)} | 1,4 | 1,4 | 0,05 | 0,004 | 0,05 |
| 16.29 | 54.45444 | 18.42514 | GKP; na azymucie 285° | 2,0 | 0,9 ^{N)} | 1,4 | 1,4 | 0,05 | 0,004 | 0,05 |
| 16.30 | 54.45444 | 18.42486 | GKP; na azymucie 285° | 2,0 | 0,9 ^{N)} | 1,4 | 1,4 | 0,05 | 0,004 | 0,05 |
| 16.31 | 54.45458 | 18.42458 | GKP; na azymucie 285° | 2,0 | 0,8 ^{N)} | 1,4 | 1,4 | 0,05 | 0,004 | 0,05 |
| 16.32 | 54.45458 | 18.42444 | GKP; na azymucie 285° | 2,0 | 0,9 ^{N)} | 1,4 | 1,4 | 0,05 | 0,004 | 0,05 |
| 17.1 | 54.45292 | 18.43528 | GKP; na azymucie 308°-1 m od ogrodzenia | 2,0 | 1,9 | 2,6 | 2,6 | 0,09 | 0,007 | 0,09 |
| 17.2 | 54.45306 | 18.43528 | GKP; na azymucie 308° | 2,0 | 1,8 | 2,4 | 2,4 | 0,09 | 0,006 | 0,09 |
| 17.3 | 54.45319 | 18.435 | GKP; na azymucie 308° | 2,0 | 1,8 | 2,4 | 2,4 | 0,09 | 0,006 | 0,09 |
| 17.4 | 54.45314 | 18.43475 | GKP; na azymucie 308° | 2,0 | 1,9 | 2,6 | 2,6 | 0,09 | 0,007 | 0,09 |
| 17.5 | 54.45325 | 18.43450 | GKP; na azymucie 308° | 2,0 | 1,8 | 2,4 | 2,4 | 0,09 | 0,006 | 0,09 |
| 17.6 | 54.45361 | 18.43417 | GKP; na azymucie 308° | 2,0 | 1,8 | 2,4 | 2,4 | 0,09 | 0,006 | 0,09 |
| 17.7 | 54.45361 | 18.43403 | GKP; na azymucie 308° | 2,0 | 1,7 | 2,3 | 2,3 | 0,08 | 0,006 | 0,08 |
| 17.8 | 54.45372 | 18.43375 | GKP; na azymucie 308° | 2,0 | 1,7 | 2,3 | 2,3 | 0,08 | 0,006 | 0,08 |
| 17.9 | 54.45372 | 18.43347 | GKP; na azymucie 308° | 2,0 | 1,8 | 2,4 | 2,4 | 0,09 | 0,006 | 0,09 |
| 17.10 | 54.45383 | 18.43322 | GKP; na azymucie 308° | 2,0 | 1,6 | 2,2 | 2,2 | 0,08 | 0,006 | 0,08 |
| 17.11 | 54.45403 | 18.43305 | GKP; na azymucie 308° | 2,0 | 1,7 | 2,3 | 2,3 | 0,08 | 0,006 | 0,08 |
| 17.12 | 54.45417 | 18.43278 | GKP; na azymucie 308° | 2,0 | 1,6 | 2,2 | 2,2 | 0,08 | 0,006 | 0,08 |
| 17.13 | 54.45431 | 18.4325 | GKP; na azymucie 308° | 2,0 | 1,4 | 1,9 | 1,9 | 0,07 | 0,005 | 0,07 |
| 17.14 | 54.45444 | 18.43236 | GKP; na azymucie 308° | 2,0 | 1,4 | 1,9 | 1,9 | 0,07 | 0,005 | 0,07 |
| 17.15 | 54.45458 | 18.43208 | GKP; na azymucie 308° | 2,0 | 1,5 | 2,0 | 2,0 | 0,07 | 0,005 | 0,07 |
| 17.16 | 54.45458 | 18.4318 | GKP; na azymucie 308° | 2,0 | 1,6 | 2,2 | 2,2 | 0,08 | 0,006 | 0,08 |

¹⁾ Za wynik pomiaru przyjmuje się wartość wyznaczoną jako iloczyn maksymalnej chwilowej wartości zmierzonej i poprawki pomiarowej, powiększoną o rozszerzoną niepewność pomiaru U dla współczynnika rozszerzenia k=2

^{N)} Wartość zmierzona spoza zakresu akredytacji. Do uzyskania wyniku badania interpoluje się wartość zmierzona do wartości dolnej granicy zakresu pomiarowego metody. Wartość tą wykorzystuje się do wyliczenia wyniku pomiaru i do stwierdzenia zgodności.

Objaśnienia:

GKP – Główny Kierunek Pomiarowy

Tabela nr 6 c.d.

| Lokalizacja pionu / punktu pomiarowego | | | | Wartości obliczane zgodnie z wymaganiami załącznika do RMK z 18.02.2020 r. (Dz. U. 2020, poz. 258) | | | | | | |
|--|-----------------|-----------------|--|--|-------------------|------------------------------|------------------------------------|---|---------------------------|---|
| Nr pionu/ punktu | LAT | LON | Opis | Wysokość pomiaru | Wartość zmierzona | Wynik badania z niepewnością | Wynik pomiaru pola-E ¹⁾ | Wskaźnik poziomu emisji WM _E | Wartość wyznaczona pola-H | Wskaźnik poziomu emisji WM _H |
| | | | | [m] | [V/m] | [V/m] | [V/m] | | [A/m] | |
| 1 | 2 | 3 | 4 | 5 | 6 | 7 | 8 | 9 | 10 | 11 |
| 17.17 | 54.45472 | 18.43153 | GKP; na azymucie 308° | 2,0 | 1,6 | 2,2 | 2,2 | 0,08 | 0,006 | 0,08 |
| 17.18 | 54.45486 | 18.43125 | GKP; na azymucie 308° | 2,0 | 1,5 | 2,0 | 2,0 | 0,07 | 0,005 | 0,07 |
| 17.19 | 54.455 | 18.43111 | GKP; na azymucie 308° | 2,0 | 1,4 | 1,9 | 1,9 | 0,07 | 0,005 | 0,07 |
| 17.20 | 54.45514 | 18.43083 | GKP; na azymucie 308° | 2,0 | 1,3 | 1,8 | 1,8 | 0,06 | 0,005 | 0,06 |
| 17.21 | 54.45514 | 18.43056 | GKP; na azymucie 308° | 2,0 | 1,5 | 2,0 | 2,0 | 0,07 | 0,005 | 0,07 |
| 17.22 | 54.45528 | 18.43028 | GKP; na azymucie 308° | 2,0 | 1,6 | 2,2 | 2,2 | 0,08 | 0,006 | 0,08 |
| 17.23 | 54.45542 | 18.43014 | GKP; na azymucie 308° | 2,0 | 1,6 | 2,2 | 2,2 | 0,08 | 0,006 | 0,08 |
| 17.24 | 54.45555 | 18.42986 | GKP; na azymucie 308° | 2,0 | 1,6 | 2,2 | 2,2 | 0,08 | 0,006 | 0,08 |
| 17.25 | 54.4557 | 18.42958 | GKP; na azymucie 308° | 2,0 | 1,4 | 1,9 | 1,9 | 0,07 | 0,005 | 0,07 |
| 17.26 | 54.4557 | 18.4293 | GKP; na azymucie 308° | 2,0 | 1,3 | 1,8 | 1,8 | 0,06 | 0,005 | 0,06 |
| 17.27 | 54.45583 | 18.42917 | GKP; na azymucie 308° | 2,0 | 1,2 | 1,6 | 1,6 | 0,06 | 0,004 | 0,06 |
| 17.25 | 54.45597 | 18.42889 | GKP; na azymucie 308° | 2,0 | 1,1 | 1,5 | 1,5 | 0,05 | 0,004 | 0,05 |
| 17.29 | 54.45611 | 18.42861 | GKP; na azymucie 308° | 2,0 | 1,0 | 1,4 | 1,4 | 0,05 | 0,004 | 0,05 |
| 17.30 | 54.45625 | 18.42833 | GKP; na azymucie 308° | 2,0 | 0,9 ^{N)} | 1,4 | 1,4 | 0,05 | 0,004 | 0,05 |
| 17.31 | 54.45625 | 18.42819 | GKP; na azymucie 308° | 2,0 | 0,8 ^{N)} | 1,4 | 1,4 | 0,05 | 0,004 | 0,05 |
| 17.32 | 54.45639 | 18.42792 | GKP; na azymucie 308° | 2,0 | 0,9 ^{N)} | 1,4 | 1,4 | 0,05 | 0,004 | 0,05 |
| 17.33 | 54.45653 | 18.42764 | GKP; na azymucie 308° | 2,0 | 0,8 ^{N)} | 1,4 | 1,4 | 0,05 | 0,004 | 0,05 |
| 17.34 | 54.45667 | 18.42736 | GKP; na azymucie 308° | 2,0 | 0,9 ^{N)} | 1,4 | 1,4 | 0,05 | 0,004 | 0,05 |
| 17.35 | 54.45681 | 18.42694 | GKP; na azymucie 308° | 2,0 | 0,8 ^{N)} | 1,4 | 1,4 | 0,05 | 0,004 | 0,05 |
| 17.36 | 54.45694 | 18.42667 | GKP; na azymucie 308° | 2,0 | 0,8 ^{N)} | 1,4 | 1,4 | 0,05 | 0,004 | 0,05 |
| 17.37 | 54.45705 | 18.42645 | GKP; na azymucie 308° | 2,0 | 0,9 ^{N)} | 1,4 | 1,4 | 0,05 | 0,004 | 0,05 |
| 18.1 | 54.45308 | 18.43542 | GKP; na azymucie 325°-1 m od ogrodu | 2,0 | 1,7 | 2,3 | 2,3 | 0,08 | 0,006 | 0,08 |
| 18.2 | 54.45389 | 18.43458 | GKP; na azymucie 325° | 2,0 | 1,6 | 2,2 | 2,2 | 0,08 | 0,006 | 0,08 |
| 18.3 | 54.45403 | 18.43444 | GKP; na azymucie 325° | 2,0 | 1,6 | 2,2 | 2,2 | 0,08 | 0,006 | 0,08 |
| 18.4 | 54.45417 | 18.43431 | GKP; na azymucie 325° | 2,0 | 1,5 | 2,0 | 2,0 | 0,07 | 0,005 | 0,07 |
| 18.5 | 54.45431 | 18.43417 | GKP; na azymucie 325° | 2,0 | 1,5 | 2,0 | 2,0 | 0,07 | 0,005 | 0,07 |

¹⁾ Za wynik pomiaru przyjmuje się wartość wyznaczoną jako iloczyn maksymalnej chwilowej wartości zmierzonej i poprawki pomiarowej, powiększoną o rozszerzoną niepewność pomiaru U dla współczynnika rozszerzenia k=2

^{N)} Wartość zmierzona spoza zakresu akredytacji. Do uzyskania wyniku badania interpoluje się wartość zmierzoną do wartości dolnej granicy zakresu pomiarowego metody. Wartość tą wykorzystuje się do wyliczenia wyniku pomiaru i do stwierdzenia zgodności.

Objaśnienia:

GKP – Główny Kierunek Pomiarowy

Tabela nr 6 c.d.

| Lokalizacja pionu / punktu pomiarowego | | | | Wartości obliczane zgodnie z wymaganiami załącznika do RMK z 18.02.2020 r. (Dz. U. 2020, poz. 258) | | | | | | |
|--|----------|----------|-----------------------|--|-------------------|------------------------------|------------------------------------|---|---------------------------|---|
| Nr pionu/ punktu | LAT | LON | Opis | Wysokość pomiaru | Wartość zmierzona | Wynik badania z niepewnością | Wynik pomiaru pola-E ¹⁾ | Wskaźnik poziomu emisji WM _E | Wartość wyznaczona pola-H | Wskaźnik poziomu emisji WM _H |
| | | | | [m] | [V/m] | [V/m] | [V/m] | | [A/m] | |
| 1 | 2 | 3 | 4 | 5 | 6 | 7 | 8 | 9 | 10 | 11 |
| 18.6 | 54.45444 | 18.43372 | GKP; na azymucie 325° | 2,0 | 1,4 | 1,9 | 1,9 | 0,07 | 0,005 | 0,07 |
| 18.7 | 54.45461 | 18.43353 | GKP; na azymucie 325° | 2,0 | 1,4 | 1,9 | 1,9 | 0,07 | 0,005 | 0,07 |
| 18.8 | 54.455 | 18.43319 | GKP; na azymucie 325° | 2,0 | 1,2 | 1,6 | 1,6 | 0,06 | 0,004 | 0,06 |
| 18.9 | 54.45514 | 18.43305 | GKP; na azymucie 325° | 2,0 | 1,3 | 1,8 | 1,8 | 0,06 | 0,005 | 0,06 |
| 18.10 | 54.45528 | 18.43292 | GKP; na azymucie 325° | 2,0 | 1,4 | 1,9 | 1,9 | 0,07 | 0,005 | 0,07 |
| 18.11 | 54.45542 | 18.43278 | GKP; na azymucie 325° | 2,0 | 1,2 | 1,6 | 1,6 | 0,06 | 0,004 | 0,06 |
| 18.12 | 54.45555 | 18.4325 | GKP; na azymucie 325° | 2,0 | 1,1 | 1,5 | 1,5 | 0,05 | 0,004 | 0,05 |
| 18.13 | 54.4557 | 18.43236 | GKP; na azymucie 325° | 2,0 | 1,3 | 1,8 | 1,8 | 0,06 | 0,005 | 0,06 |
| 18.14 | 54.45583 | 18.43222 | GKP; na azymucie 325° | 2,0 | 1,4 | 1,9 | 1,9 | 0,07 | 0,005 | 0,07 |
| 18.15 | 54.45597 | 18.43208 | GKP; na azymucie 325° | 2,0 | 1,5 | 2,0 | 2,0 | 0,07 | 0,005 | 0,07 |
| 18.16 | 54.45625 | 18.4318 | GKP; na azymucie 325° | 2,0 | 1,6 | 2,2 | 2,2 | 0,08 | 0,006 | 0,08 |
| 18.17 | 54.45639 | 18.43167 | GKP; na azymucie 325° | 2,0 | 1,6 | 2,2 | 2,2 | 0,08 | 0,006 | 0,08 |
| 18.18 | 54.45653 | 18.43153 | GKP; na azymucie 325° | 2,0 | 1,5 | 2,0 | 2,0 | 0,07 | 0,005 | 0,07 |
| 18.19 | 54.45667 | 18.43125 | GKP; na azymucie 325° | 2,0 | 1,4 | 1,9 | 1,9 | 0,07 | 0,005 | 0,07 |
| 18.20 | 54.45681 | 18.43111 | GKP; na azymucie 325° | 2,0 | 1,3 | 1,8 | 1,8 | 0,06 | 0,005 | 0,06 |
| 18.21 | 54.45694 | 18.43097 | GKP; na azymucie 325° | 2,0 | 1,1 | 1,5 | 1,5 | 0,05 | 0,004 | 0,05 |
| 18.22 | 54.45708 | 18.43083 | GKP; na azymucie 325° | 2,0 | 1,0 | 1,4 | 1,4 | 0,05 | 0,004 | 0,05 |
| 18.23 | 54.45722 | 18.43056 | GKP; na azymucie 325° | 2,0 | 1,1 | 1,5 | 1,5 | 0,05 | 0,004 | 0,05 |
| 18.24 | 54.45736 | 18.43042 | GKP; na azymucie 325° | 2,0 | 1,0 | 1,4 | 1,4 | 0,05 | 0,004 | 0,05 |
| 18.25 | 54.4575 | 18.43028 | GKP; na azymucie 325° | 2,0 | 1,0 | 1,4 | 1,4 | 0,05 | 0,004 | 0,05 |
| 18.26 | 54.45764 | 18.43 | GKP; na azymucie 325° | 2,0 | 0,9 ^{N)} | 1,4 | 1,4 | 0,05 | 0,004 | 0,05 |
| 18.27 | 54.45778 | 18.42986 | GKP; na azymucie 325° | 2,0 | 1,0 | 1,4 | 1,4 | 0,05 | 0,004 | 0,05 |
| 18.28 | 54.45792 | 18.42972 | GKP; na azymucie 325° | 2,0 | 0,9 ^{N)} | 1,4 | 1,4 | 0,05 | 0,004 | 0,05 |
| 18.29 | 54.45806 | 18.42958 | GKP; na azymucie 325° | 2,0 | 0,8 ^{N)} | 1,4 | 1,4 | 0,05 | 0,004 | 0,05 |

¹⁾ Za wynik pomiaru przyjmuje się wartość wyznaczoną jako iloczyn maksymalnej chwilowej wartości zmierzonej i poprawki pomiarowej, powiększoną o rozszerzoną niepewność pomiaru U dla współczynnika rozszerzenia k=2

^{N)} Wartość zmierzona spoza zakresu akredytacji. Do uzyskania wyniku badania interpoluje się wartość zmierzoną do wartości dolnej granicy zakresu pomiarowego metody. Wartość tą wykorzystuje się do wyliczenia wyniku pomiaru i do stwierdzenia zgodności.

Objaśnienia:

GKP – Główny Kierunek Pomiarowy

Tabela nr 6 c.d.

| Lokalizacja pionu / punktu pomiarowego | | | | Wartości obliczane zgodnie z wymaganiami załącznika do RMK z 18.02.2020 r. (Dz. U. 2020, poz. 258) | | | | | | |
|--|----------|----------|---|--|-------------------|------------------------------|------------------------------------|---|---------------------------|---|
| Nr pionu/ punktu | LAT | LON | Opis | Wysokość pomiaru | Wartość zmierzona | Wynik badania z niepewnością | Wynik pomiaru pola-E ¹⁾ | Wskaźnik poziomu emisji WM _E | Wartość wyznaczona pola-H | Wskaźnik poziomu emisji WM _H |
| | | | | [m] | [V/m] | [V/m] | [V/m] | | [A/m] | |
| 1 | 2 | 3 | 4 | 5 | 6 | 7 | 8 | 9 | 10 | 11 |
| 18.30 | 54.45819 | 18.4293 | GKP; na azymucie 325° | 2,0 | 0,9 ^{N)} | 1,4 | 1,4 | 0,05 | 0,004 | 0,05 |
| 18.31 | 54.45875 | 18.42875 | GKP; na azymucie 325° | 2,0 | 0,9 ^{N)} | 1,4 | 1,4 | 0,05 | 0,004 | 0,05 |
| 19.1 | 54.45347 | 18.43583 | PKP; na azymucie 355° - 1 m od ogrodzenia | 2,0 | 1,6 | 2,2 | 2,2 | 0,08 | 0,006 | 0,08 |
| 19.2 | 54.45361 | 18.43583 | PKP; na azymucie 355° | 2,0 | 1,6 | 2,2 | 2,2 | 0,08 | 0,006 | 0,08 |
| 19.3 | 54.45375 | 18.43583 | PKP; na azymucie 355° | 2,0 | 1,5 | 2,0 | 2,0 | 0,07 | 0,005 | 0,07 |
| 19.4 | 54.45444 | 18.43569 | PKP; na azymucie 355° | 2,0 | 1,8 | 2,4 | 2,4 | 0,09 | 0,006 | 0,09 |
| 19.5 | 54.45472 | 18.43569 | PKP; na azymucie 355° | 2,0 | 1,7 | 2,3 | 2,3 | 0,08 | 0,006 | 0,08 |
| 19.6 | 54.45528 | 18.43555 | PKP; na azymucie 355° | 2,0 | 1,6 | 2,2 | 2,2 | 0,08 | 0,006 | 0,08 |
| 19.7 | 54.45542 | 18.43555 | PKP; na azymucie 355° | 2,0 | 1,4 | 1,9 | 1,9 | 0,07 | 0,005 | 0,07 |
| 19.8 | 54.45555 | 18.43555 | PKP; na azymucie 355° | 2,0 | 1,2 | 1,6 | 1,6 | 0,06 | 0,004 | 0,06 |
| 19.9 | 54.4557 | 18.43555 | PKP; na azymucie 355° | 2,0 | 1,3 | 1,8 | 1,8 | 0,06 | 0,005 | 0,06 |
| 19.10 | 54.45597 | 18.43555 | PKP; na azymucie 355° | 2,0 | 1,4 | 1,9 | 1,9 | 0,07 | 0,005 | 0,07 |
| 19.11 | 54.45611 | 18.43542 | PKP; na azymucie 355° | 2,0 | 1,6 | 2,2 | 2,2 | 0,08 | 0,006 | 0,08 |
| 19.12 | 54.45625 | 18.43542 | PKP; na azymucie 355° | 2,0 | 1,5 | 2,0 | 2,0 | 0,07 | 0,005 | 0,07 |
| 19.13 | 54.45653 | 18.43542 | PKP; na azymucie 355° | 2,0 | 1,4 | 1,9 | 1,9 | 0,07 | 0,005 | 0,07 |
| 19.14 | 54.45667 | 18.43542 | PKP; na azymucie 355° | 2,0 | 1,5 | 2,0 | 2,0 | 0,07 | 0,005 | 0,07 |
| 19.15 | 54.45681 | 18.43542 | PKP; na azymucie 355° | 2,0 | 1,6 | 2,2 | 2,2 | 0,08 | 0,006 | 0,08 |
| 19.16 | 54.45694 | 18.43528 | PKP; na azymucie 355° | 2,0 | 1,4 | 1,9 | 1,9 | 0,07 | 0,005 | 0,07 |
| 19.17 | 54.45722 | 18.43528 | PKP; na azymucie 355° | 2,0 | 1,3 | 1,8 | 1,8 | 0,06 | 0,005 | 0,06 |
| 19.18 | 54.45736 | 18.43528 | PKP; na azymucie 355° | 2,0 | 1,3 | 1,8 | 1,8 | 0,06 | 0,005 | 0,06 |
| 19.19 | 54.4575 | 18.43528 | PKP; na azymucie 355° | 2,0 | 1,1 | 1,5 | 1,5 | 0,05 | 0,004 | 0,05 |

¹⁾ Za wynik pomiaru przyjmuje się wartość wyznaczoną jako iloczyn maksymalnej chwilowej wartości zmierzonej i poprawki pomiarowej, powiększoną o rozszerzoną niepewność pomiaru U dla współczynnika rozszerzenia k=2

^{N)} Wartość zmierzona spoza zakresu akredytacji. Do uzyskania wyniku badania interpoluje się wartość zmierzoną do wartości dolnej granicy zakresu pomiarowego metody. Wartość tą wykorzystuje się do wyliczenia wyniku pomiaru i do stwierdzenia zgodności.

Objaśnienia:

GKP – Główny Kierunek Pomiarowy

PKP – Pomocniczy Kierunek Pomiarowy

Tabela nr 6 c.d.

| Lokalizacja pionu / punktu pomiarowego | | | | Wartości obliczane zgodnie z wymaganiami załącznika do RMK z 18.02.2020 r. (Dz. U. 2020, poz. 258) | | | | | | |
|--|-----------------|-----------------|--|--|-------------------|------------------------------|------------------------------------|---|---------------------------|---|
| Nr pionu/ punktu | LAT | LON | Opis | Wysokość pomiaru | Wartość zmierzona | Wynik badania z niepewnością | Wynik pomiaru pola-E ¹⁾ | Wskaźnik poziomu emisji WM _E | Wartość wyznaczona pola-H | Wskaźnik poziomu emisji WM _H |
| | | | | [m] | [V/m] | [V/m] | [V/m] | | [A/m] | |
| 1 | 2 | 3 | 4 | 5 | 6 | 7 | 8 | 9 | 10 | 11 |
| 19.20 | 54.45778 | 18.43528 | PKP; na azymucie 355° | 2,0 | 1,0 | 1,4 | 1,4 | 0,05 | 0,004 | 0,05 |
| 19.21 | 54.45792 | 18.43514 | PKP; na azymucie 355° | 2,0 | 1,1 | 1,5 | 1,5 | 0,05 | 0,004 | 0,05 |
| 19.22 | 54.45806 | 18.43514 | PKP; na azymucie 355° | 2,0 | 1,1 | 1,5 | 1,5 | 0,05 | 0,004 | 0,05 |
| 19.23 | 54.45819 | 18.43514 | PKP; na azymucie 355° | 2,0 | 1,0 | 1,4 | 1,4 | 0,05 | 0,004 | 0,05 |
| 19.24 | 54.45847 | 18.43514 | PKP; na azymucie 355° | 2,0 | 1,1 | 1,5 | 1,5 | 0,05 | 0,004 | 0,05 |
| 19.25 | 54.45861 | 18.43514 | PKP; na azymucie 355° | 2,0 | 0,9 ^{N)} | 1,4 | 1,4 | 0,05 | 0,004 | 0,05 |
| 19.26 | 54.45875 | 18.435 | PKP; na azymucie 355° | 2,0 | 1,1 | 1,5 | 1,5 | 0,05 | 0,004 | 0,05 |
| 19.27 | 54.45903 | 18.435 | PKP; na azymucie 355° | 2,0 | 1,0 | 1,4 | 1,4 | 0,05 | 0,004 | 0,05 |
| 19.28 | 54.45917 | 18.435 | PKP; na azymucie 355° | 2,0 | 1,0 | 1,4 | 1,4 | 0,05 | 0,004 | 0,05 |
| 19.29 | 54.4593 | 18.435 | PKP; na azymucie 355° | 2,0 | 0,9 ^{N)} | 1,4 | 1,4 | 0,05 | 0,004 | 0,05 |
| 19.30 | 54.45958 | 18.435 | PKP; na azymucie 355° | 2,0 | 0,9 ^{N)} | 1,4 | 1,4 | 0,05 | 0,004 | 0,05 |
| A | 54.45444 | 18.43617 | Przy ostatnim odciążu (na północ od masztu) | 2,0 | 1,9 | 2,6 | 2,6 | 0,09 | 0,007 | 0,09 |
| B | 54.45336 | 18.43678 | Przed bramą | 2,0 | 2,3 | 3,1 | 3,1 | 0,11 | 0,008 | 0,11 |
| C | 54.45167 | 18.43861 | Przy ostatnim odciążu (na południe od masztu) | 2,0 | 2,3 | 3,1 | 3,1 | 0,11 | 0,008 | 0,11 |
| D | 54.45200 | 18.43325 | Przy ostatnim odciążu (na zachód od masztu) | 2,0 | 2,0 | 2,7 | 2,7 | 0,10 | 0,007 | 0,10 |

¹⁾ Za wynik pomiaru przyjmuje się wartość wyznaczoną jako iloczyn maksymalnej chwilowej wartości zmierzonej i poprawki pomiarowej, powiększoną o rozszerzoną niepewność pomiaru U dla współczynnika rozszerzenia k=2

^{N)} Wartość zmierzona spoza zakresu akredytacji. Do uzyskania wyniku badania interpoluje się wartość zmierzoną do wartości dolnej granicy zakresu pomiarowego metody. Wartość tą wykorzystuje się do wyliczenia wyniku pomiaru i do stwierdzenia zgodności.

Objaśnienia:

PKP – Pomocniczy Kierunek Pomiarowy

Uwaga

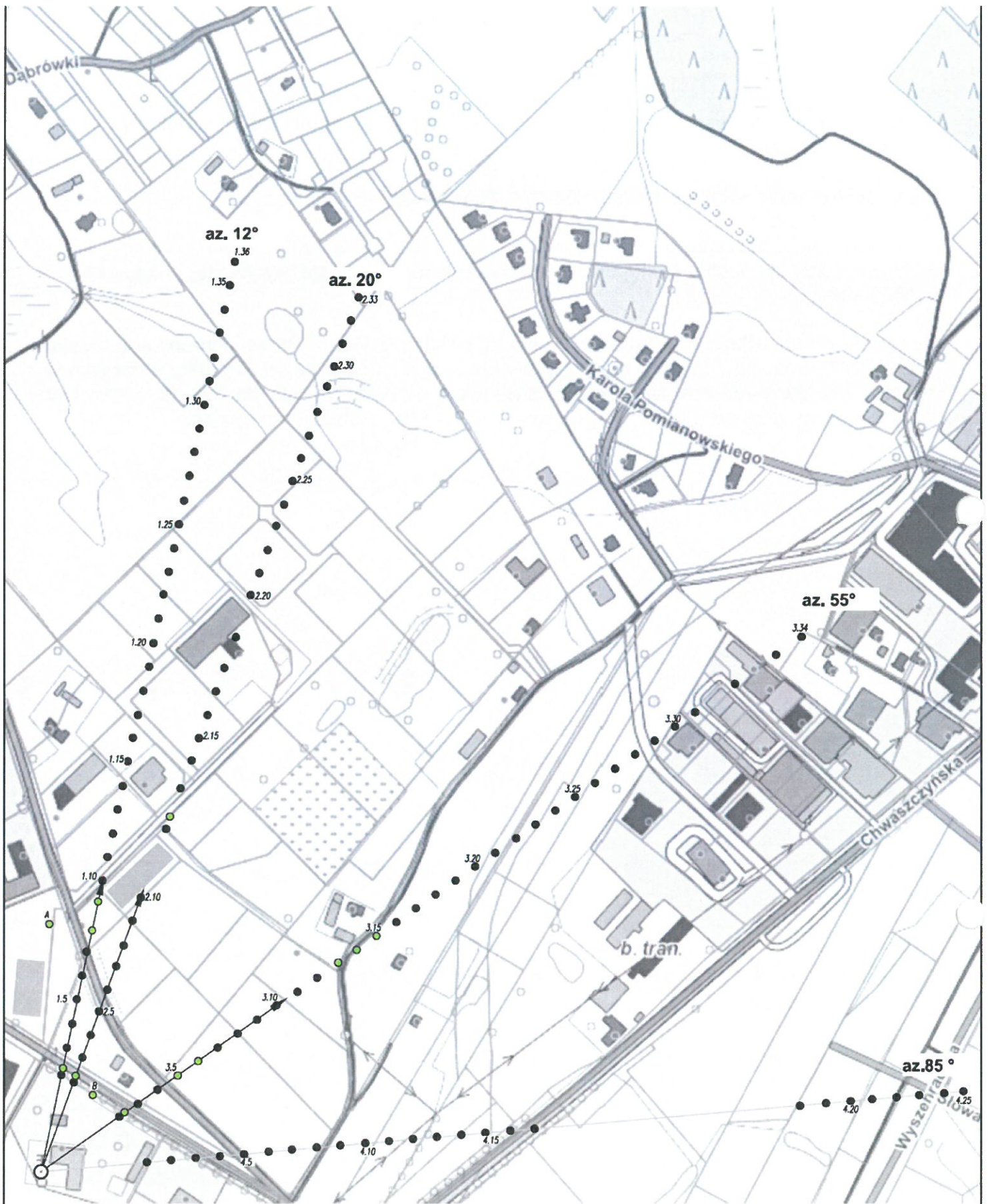
Brak możliwości wykonania pomiarów-teren budowy węzła trasy kaszubskiej.

Wyniki pomiarów odnoszą się wyłącznie do przedstawionych w sprawozdaniu punktów / pionów pomiarowych.

Dane podane przez klienta wpływają na ważność wyników.

W obligatoryjnym obszarze pomiarowym zainstalowane są urządzenia obcych operatów, które pracowały przy aktualnie występującym obciążeniu i które mają wpływ na przedstawione wyniki badań.

Na podstawie art. 122a ust. 1b ustawy z dnia 27 kwietnia 2001 r. - Prawo ochrony środowiska (Dz. U. 2021 poz. 1973 z zm.), nie przeprowadza się pomiarów pól elektromagnetycznych w lokalach mieszkalnych oraz w lokalach użytkowych zlokalizowanych na terytorium objętym stanem nadzwyczajnym, stanem zagrożenia epidemicznego lub stanem epidemii.



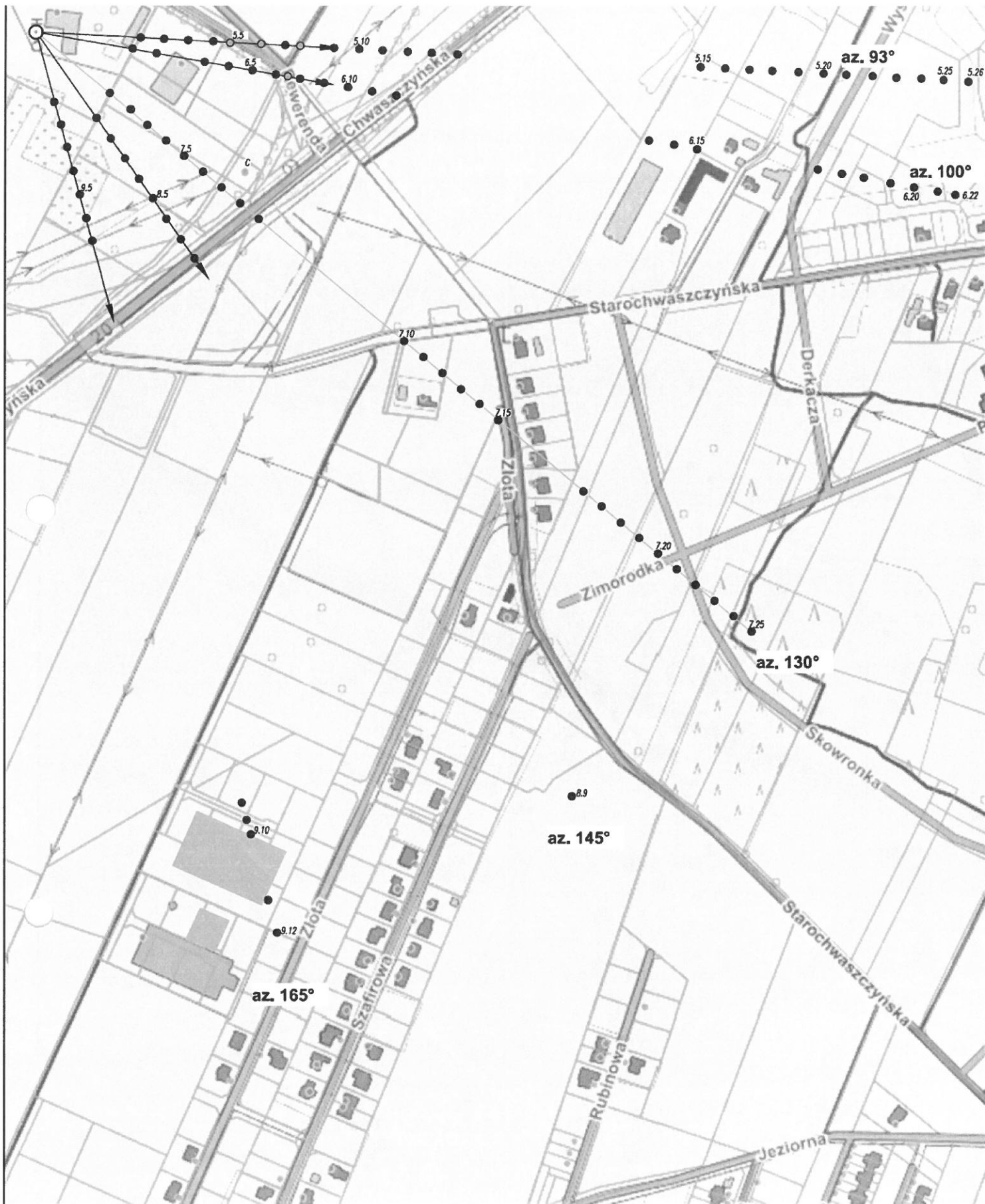
LEGENDA:

- - Punkty (piony) pomiarowe
- - Punkty (piony) pomiarowe referencyjne z Programu Badań - Ermittel
- - Lokalizacja źródła pola-EM

UWAGA: Punkty/piony pomiarowe zlokalizowane pomiędzy punktami/pionami ponumerowanymi na mapie, są ustalane w kolejności chronologicznej



| | | |
|--|--|--|
| Obiekt: RTCN Gdansk Chwaszczyno Nazwa rysunku: Rozmieszczenie pionów pomiarowych Nr sprawozdania: 180/2022/OS/08 | | Skala 1:4000 |
| LABORATORIUM BADAWCZE SOLDI ul. Bieżanowska 22, 30-812 Kraków | | Opracował: Laboratorium Badawcze Soldi Nr rysunku 01 |



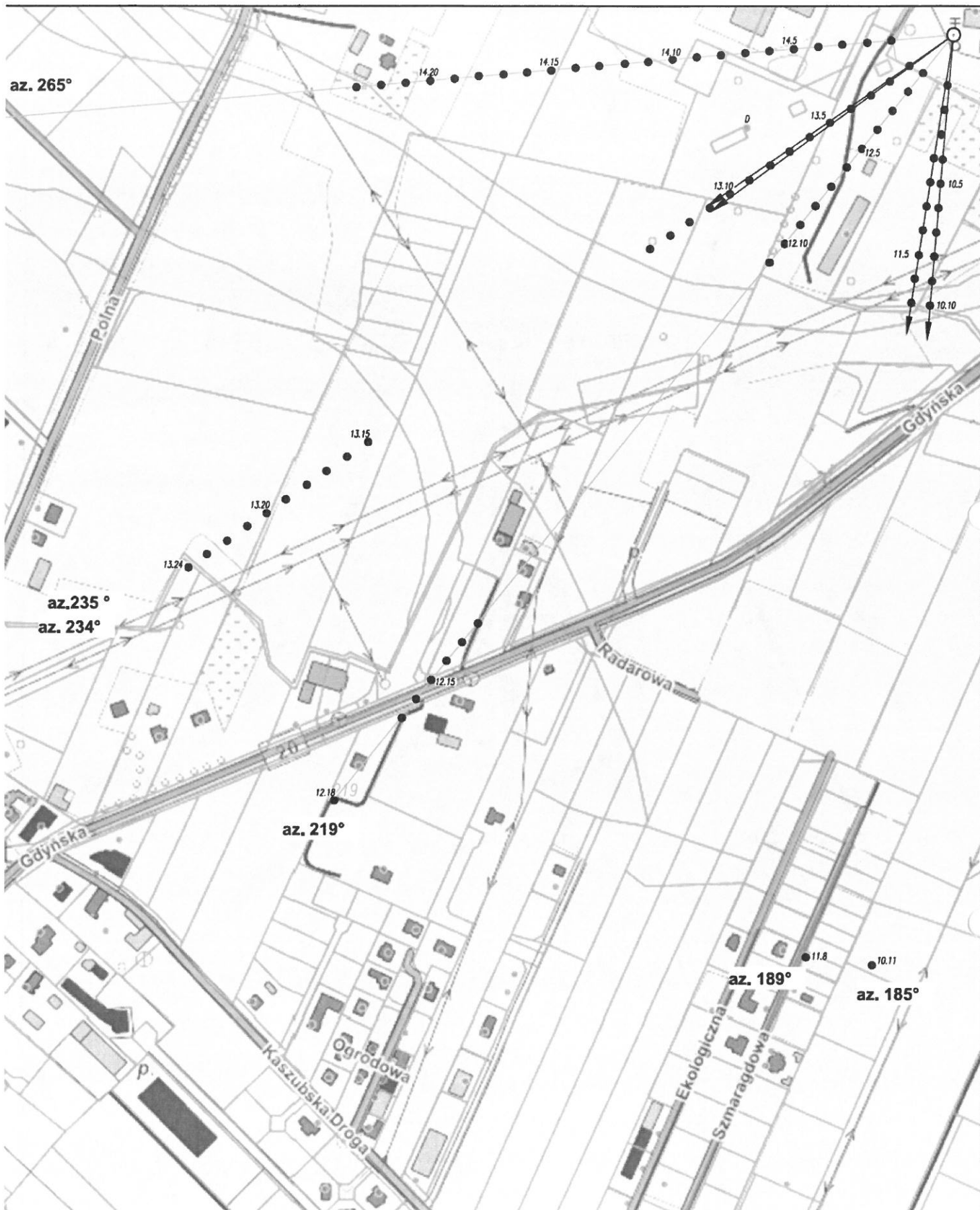
LEGENDA:

- - Punkty (piony) pomiarowe
- - Punkty (piony) pomiarowe referencyjne z Programu Badań - Emitel
- ⊗ - Lokalizacja źródła pola-EM

UWAGA: Punkty/piony pomiarowe zlokalizowane pomiędzy punktami/pionami ponumerowanymi na mapie, są ustalone w kolejności chronologicznej



| | | |
|--|--|--|
| Obiekt: RTCN Gdansk Chwaszczyno Nazwa rysunku: Rozmieszczenie pionów pomiarowych Nr sprawozdania: 180/2022/OS/08 | | Skala 1:4000 |
| LABORATORIUM BADAWCZE SOLDI ul. Biezanowska 22, 30-812 Kraków | | Opracował: Laboratorium Badawcze Soldi Nr rysunku 02 |



LEGENDA:

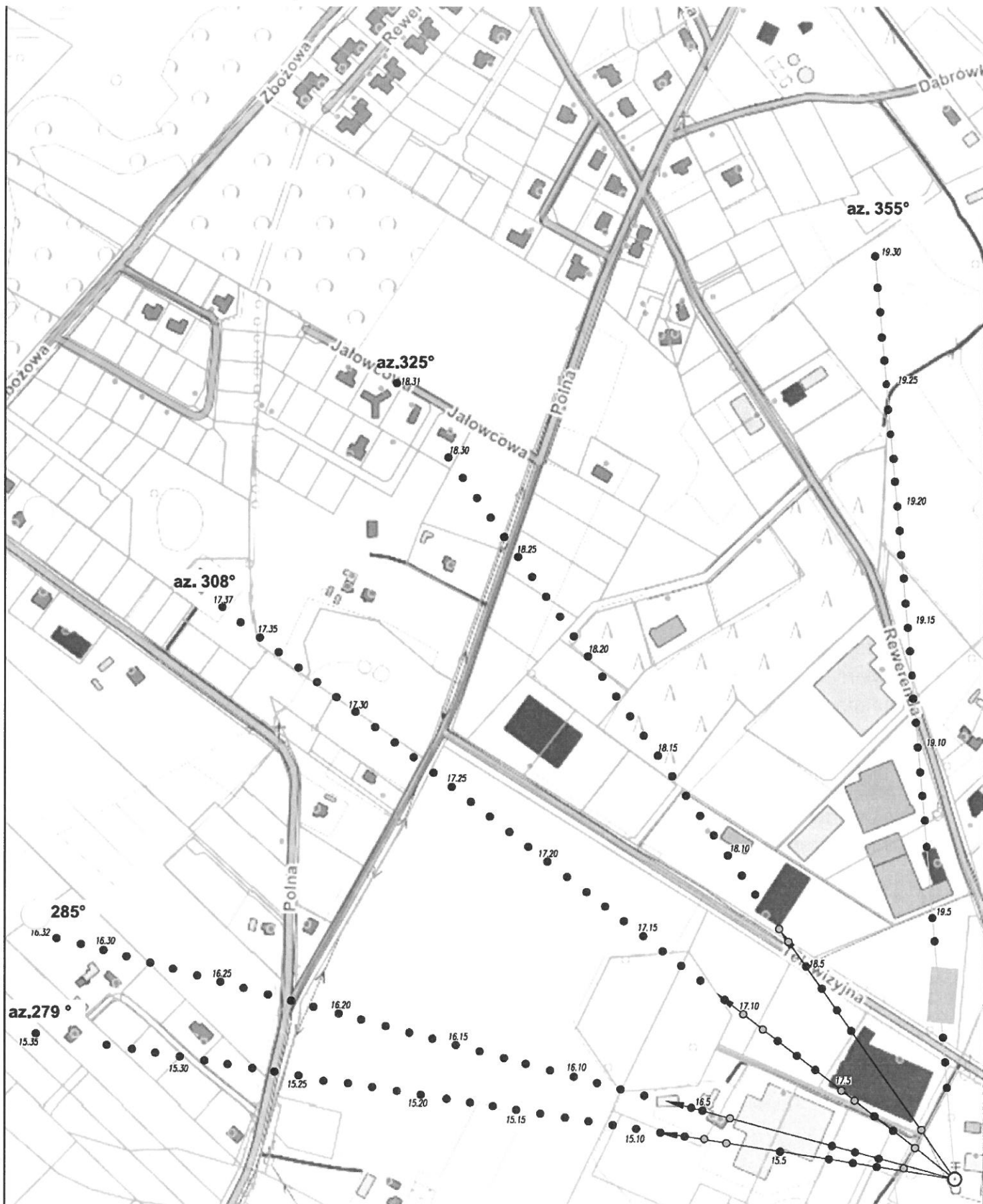
- - Punkty (piony) pomiarowe
- - Punkty (piony) pomiarowe referencyjne z Programu Badań - Emitel
- ⊙ - Lokalizacja źródła pola-EM

UWAGA: Punkty/piony pomiarowe zlokalizowane pomiędzy punktami/pionami ponumerowanymi na mapie, są ustalone w kolejności chronologicznej



UWAGA: Nie wszystkie punkty / piony pomiarowe zostały wskazane na powyższej mapie

| | | |
|--|---|-------------------------|
| Obiekt: RTCN Gdańsk Chwaszczyno Nazwa rysunku: Rozmieszczenie pionów pomiarowych Nr sprawozdania: 180/2022/OS/08 | | Skala 1:4000 |
| LABORATORIUM BADAWCZE SOLDI ul. Bieżanowska 22, 30-812 Kraków | Opracował: Laboratorium Badawcze Soldi | Nr rysunku 03 |



LEGENDA:

- - Punkty (piony) pomiarowe
- - Punkty (piony) pomiarowe referencyjne z Programu Badań - Emitel
- ⊙ - Lokalizacja źródła pola-EM

UWAGA: Punkty/piony pomiarowe zlokalizowane pomiędzy punktami/pionami ponumerowanymi na mapie, są ustalane w kolejności chronologicznej



| | | |
|--|--|--|
| Obiekt: RTCN Gdansk Chwaszczyno Nazwa rysunku: Rozmieszczenie pionów pomiarowych Nr sprawozdania: 180/2022/OS/08 | | Skala 1:4000 |
| LABORATORIUM BADAWCZE SOLDI ul. Bieżanowska 22, 30-812 Kraków | | Opracował: Laboratorium Badawcze Soldi Nr rysunku 04 |

7. Podsumowanie wyników badania

Minimalne dopuszczalne poziomy elektromagnetycznego promieniowania niejonizującego charakteryzowane przez wartości graniczne wielkości fizycznych dla miejsc dostępnych dla ludności, uwzględniające wszystkie źródła promieniowania mogące występować w obszarze pomiarowym, w zakresie pomiarowym zestawu pomiarowego, opisanego w punkcie 2 niniejszego sprawozdania, zgodnie z *Rozporządzeniem Ministra Zdrowia z dnia 17 grudnia 2019 r. w sprawie dopuszczalnych poziomów pól elektromagnetycznych w środowisku* [Dz. U. 2019, poz. 2448], które zostały przyjęte do obliczeń wskaźników WM_E i WM_H wynoszą odpowiednio:

Tabela nr 7

| Zakres częstotliwości | Natężenie pola - E | Natężenie pola - H |
|-----------------------|--------------------|--------------------|
| 10 MHz – 300 GHz | 28 V/m | 0,073 A/m |

W wyniku przeprowadzonych badań potwierdzono, że otrzymane wartości wskaźnikowe dla wszystkich punktów / pionów pomiarowych badanej instalacji radiokomunikacyjnej, nie przekroczyły wartości 1. Zatem poziomy pól elektromagnetycznych w badanych punktach są dopuszczalne.

Stwierdzenie zgodności zostało przedstawione na podstawie wyników badań oraz informacji uzyskanych od klienta (za które Laboratorium nie ponosi odpowiedzialności) dla instalacji opisanej w punkcie 5.

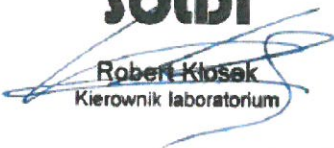
Stwierdzenia zgodności dokonano na podstawie zasady podejmowania decyzji i wymagań zawartych w załączniku do *Rozporządzenia Ministra Klimatu z dnia 17 lutego 2020 r. w sprawie sposobów sprawdzania dotrzymania dopuszczalnych poziomów pól elektromagnetycznych w środowisku* [Dz. U. 2020, poz. 258].

8. Dokumentacja fotograficzna

Widok obiektu wraz z zainstalowanym zespołem antenowym



Tabela nr 8

| Badania wykonał: | Sprawozdanie sporządził: | Sprawdził/Autoryzował: |
|------------------|--------------------------|---|
| Robert Kłosek | Wiktoria Chłapek | 23.06.2022 r. SOLDI  Robert Kłosek Kierownik laboratorium |

KONIEC SPRAWOZDANIA

